

# پایداری استاتیکی سد های خاکی

## ۴-۲- ضریب اطمینان [۴ و ۲]

ضریب اطمینان در تحلیل پایداری سدهای خاکی، کمیتی است که حاشیه ایمنی سازه را در مقابل وقوع گسیختگی برشی نشان می‌دهد. با این تعریف، مقاومت برشی بسیج شده<sup>۲</sup> با رابطه زیر بیان می‌شود:

$$\tau_m = \frac{c'}{F} + \frac{(\sigma - u) \tan \phi'}{F} \quad (1-12)$$

که در آن:

$\tau_m$  = مقاومت برشی بسیج شده

$c'$  = چسبندگی مؤثر مصالح

$\phi'$  = زاویه اصطکاک درونی مؤثر مصالح

$\sigma$  = تنش عمود بر سطح گسیختگی

$u$  = فشار آب منفذی در سطح مورد بررسی

$F$  = ضریب اطمینان در مقابل گسیختگی برشی

در تحلیل پایداری با روش متعارف تعادل حدی، فرض بر این است که ضریب اطمینان یکسانی به چسبندگی و زاویه اصطکاک درونی خاک اعمال شده و مقاومت برشی به طور یکنواخت در امتداد سطح لغزش پتانسیل بسیج می شود.

جدول ۱-۱۲- حداقل ضریب اطمینان قابل قبول در تحلیل پایداری سدهای خاکی [۲۰]

حداقل ضریب اطمینان قابل قبول				شرایط تحلیل پایداری
شبب پایین دست با زلزله	بدون زلزله	شبب بالا دست با زلزله	بدون زلزله	
۱/۰	۱/۲۵	۱/۰	۱/۲۵	انتهای مرحله ساخت
-	-	۱/۲۵	۱/۵	نشت دائم، مخزن نیمه پر
۱/۲۵	۱/۵	-	-	نشت دائم، مخزن پر
-	-	۱/۰	۱/۲۵	افت ناگهانی سطح آب

همان طور که جدول ۱۲-۱ نشان می دهد، ضریب اطمینان قابل قبول در تحلیل پایداری سدهای خاکی بین  $1/0$  الی  $1/5$  است که در مقایسه با ضریب اطمینان مورد استفاده در سازه های بتونی یا فولادی کمتر است. علل انتخاب ضریب اطمینان کمتر در سازه های خاکی را می توان به شرح زیر بیان کرد:

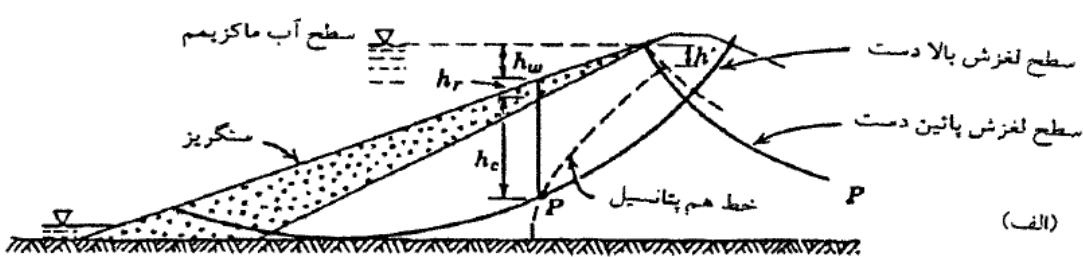
الف - ارقامی که به عنوان پارامترهای مقاومت بر شی مصالح خاکی انتخاب می شوند، معمولاً بسیار نزدیک یا معادل مقادیر حداقل اند، در صورتی که ارقام واقعی در هنگام وقوع گسیختگی بمراتب بیشتر از ارقام حداقل خواهند بود.

ب - معمولاً ضریب اطمینان پایداری سازه های خاکی با گذشت زمان افزایش می یابد، زیرا خاک مصالحی است که بر اثر پدیده تحکیم، مقاومت بر شی آن با زمان افزایش می یابد، بنابراین ضریب اطمینان پایداری آن نیز با زمان اضافه می شود.

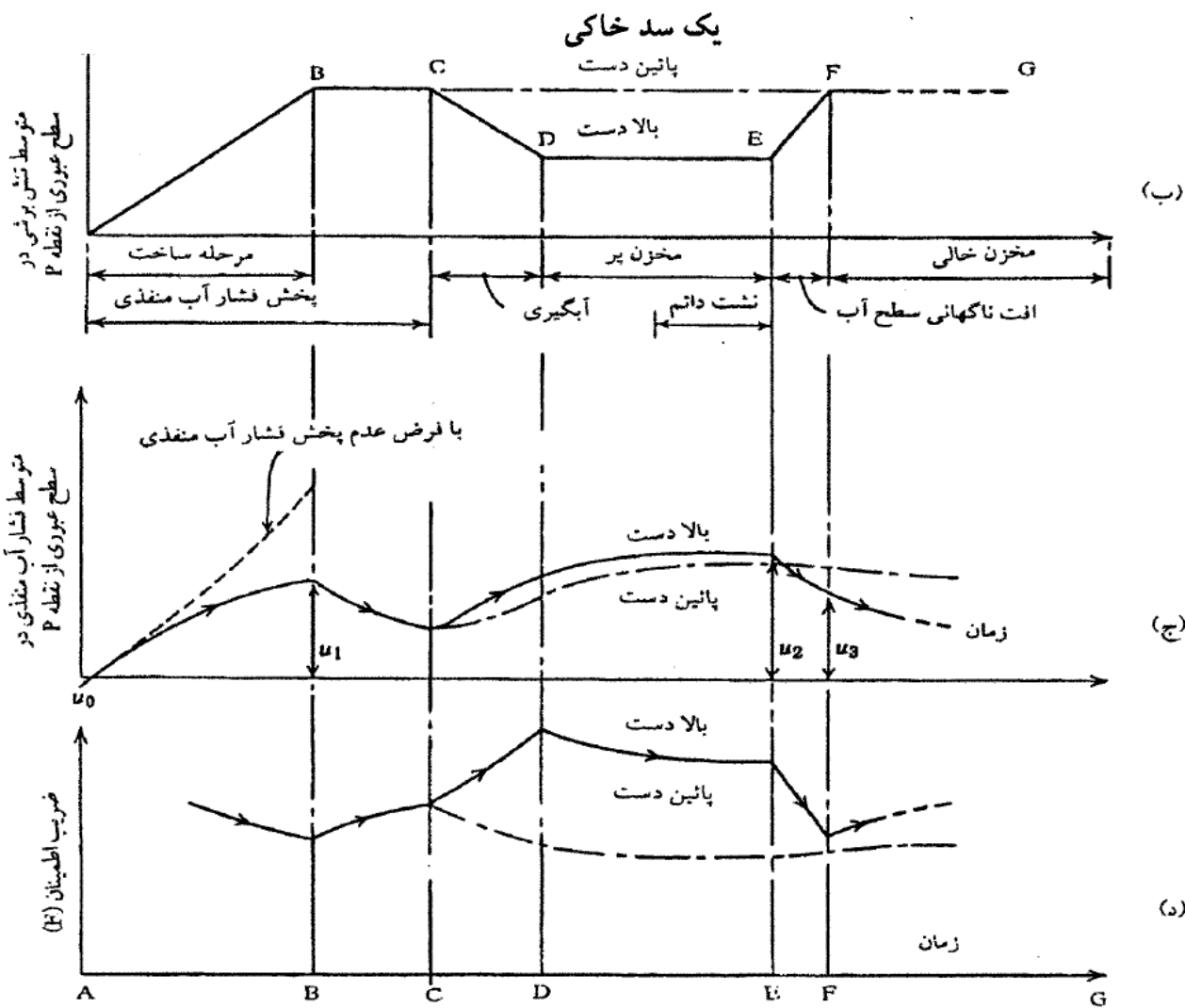
ج - نیروهایی که در محاسبات طراحی به کار گرفته می شوند، عموماً در بالاترین حد می باشند، در حالی که در عمل نیروهای مؤثر کمتر از مقادیر حداقل انتخاب شده، خواهند بود.

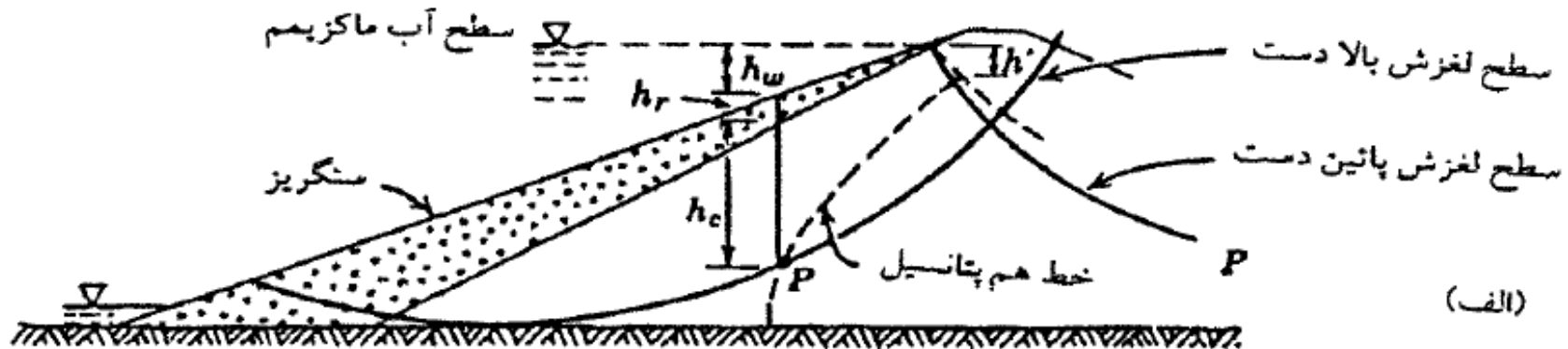
د - در سازه‌های خاکی سنگین مثل سدهای خاکی، برخلاف سازه‌های بتنی و فولادی، قسمت اعظم بارهای واردہ را بار مرده که با اطمینان بیشتری قابل پیش‌بینی است، تشکیل می‌دهد، درحالی‌که در سایر سازه‌ها، بار زنده قسمت مهمی از مجموع بارهای واردہ به سازه را تشکیل می‌دهد که پیش‌بینی آن با دشواری بیشتری صورت می‌گیرد.

شکل ۱۲-۱، تغییرات محتمل در ضریب اطمینان پایداری شیب یک سد خاکی را در طول دوران مختلف از مرحله ساخت تا بهره‌برداری نشان می‌دهد. قسمت (الف) شکل مقطع عرضی یک سد خاکی غیرهمگن را نشان می‌دهد که در آن یک سطح لغزش فرضی از داخل هسته و پوسته عبور نموده است.

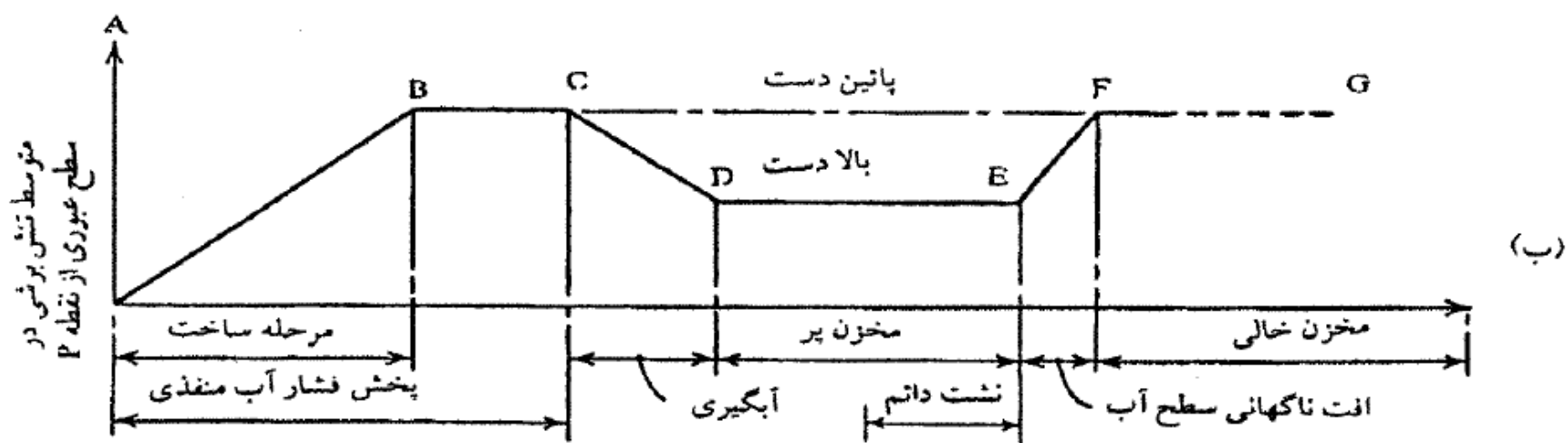


شکل ۱-۱۲- تغییرات تنش برشی، فشار آب منفذی و ضریب اطمینان در هنگام و پس از ساخت

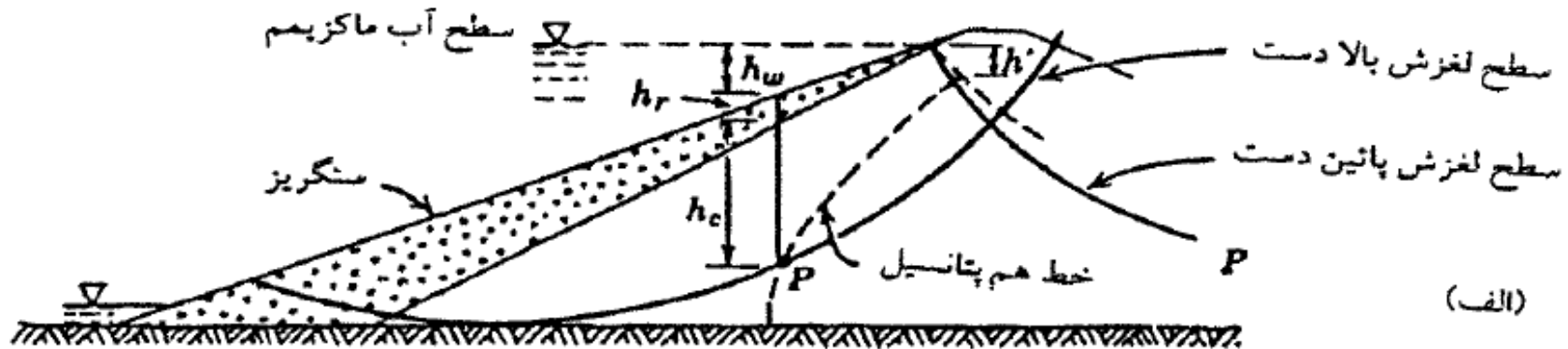




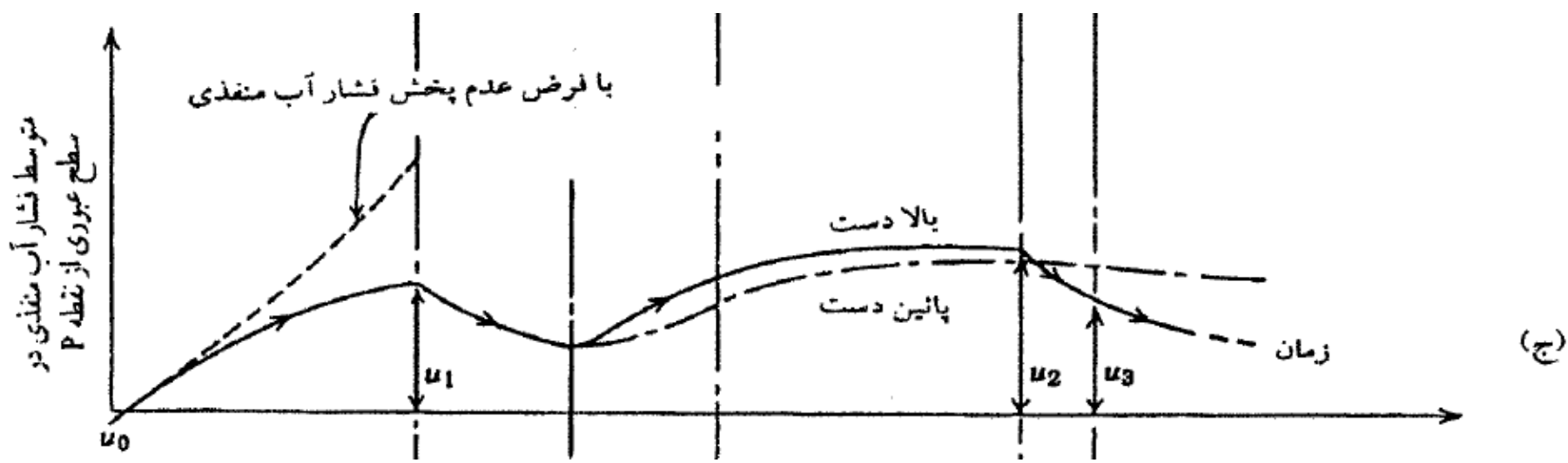
(الف)



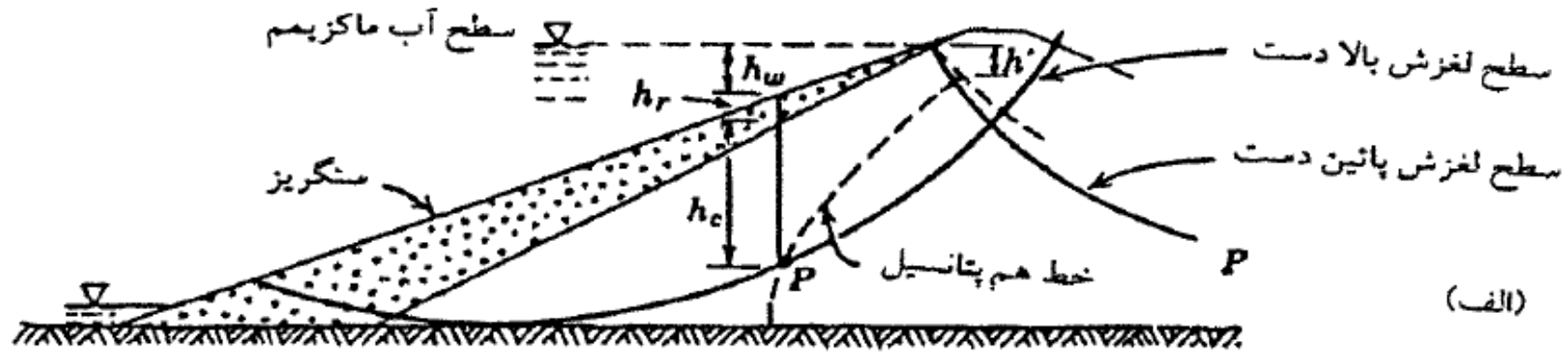
(ب)



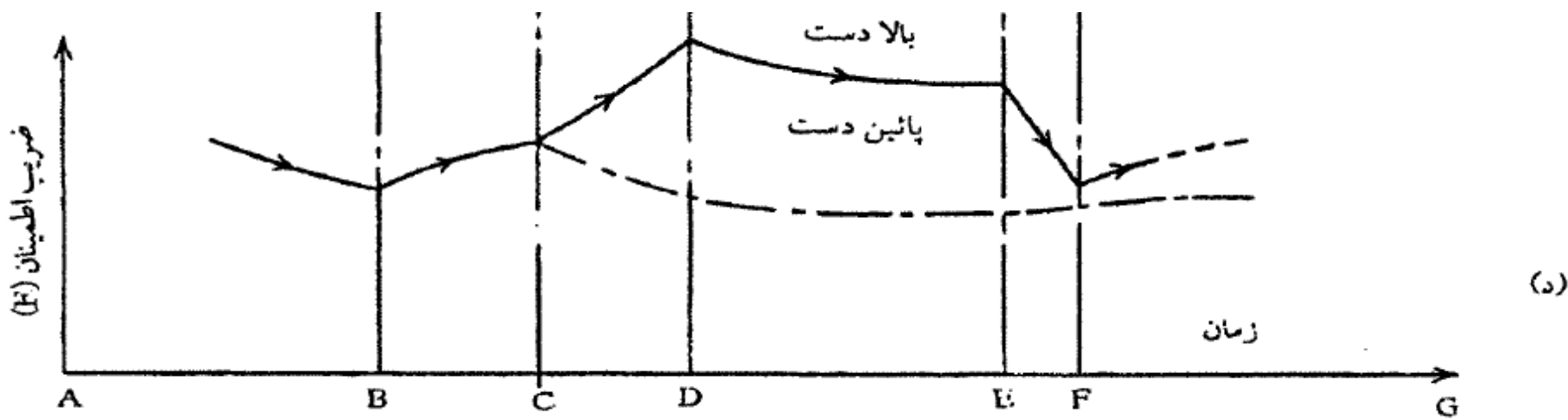
(الف)



(ج)



(الف)



(د)

در روی این سطح گسیختگی فرضی نقطه‌ای مانند P فرض و تغییرات عوامل مختلف شامل متوسط تنش برشی، متوسط فشار آب منفذی و ضریب اطمینان در آن، در مراحل زمانی مختلف ترسیم شده است (قسمت‌های "ب"، "ج" و "د" شکل ۱۲). همان‌طور که در قسمت (ب) مشاهده می‌شود، متوسط تنش برشی در نقطه P در طی مرحله ساخت متناسب با افزایش ارتفاع سد، افزایش می‌یابد و با پایان مرحله ساخت به مقدار ثابتی می‌رسد (مرحله ساخت از زمان A تا B). در مرحله C تا D، یعنی تا قبل از شروع آبگیری، این تنش تقریباً ثابت باقی می‌ماند، درحالی‌که فشار آب منفذی به دلیل پخش آن کاهش می‌یابد. در مرحله C، آبگیری آغاز و تا مرحله D که سد پر می‌شود، ادامه می‌یابد. در این دوره (مرحله C تا D)، متوسط تنش برشی در شیب بالادست کاهش پیدا می‌کند، درحالی‌که در شیب پایین‌دست مقدار آن ثابت است. مرحله D تا E، مرحله پر بودن مخزن سد را نشان می‌دهد که طی آن بتدریج نشت از بدنه آغاز و در مرحله خاصی به نشت پایدار<sup>۱</sup> تبدیل می‌شود. از مرحله E تا F، تخلیه سریع مخزن رخ می‌دهد که طی آن به دلیل حذف آب از روی شیب بالادست، تنش برشی در نقطه P افزایش یافته و به مقدار اولیه می‌رسد. در کلیه مراحل پر و خالی شدن مخزن، این تنش برای شیب پایین‌دست تغییر چندانی نمی‌کند. در مرحله F تا G که مخزن سد خالی است، تغییری در تنش نقطه P در هیچ‌یک از دو سطح شیبدار حاصل نمی‌شود.

قسمت (ج) شکل ۱۲-۱، تغییرات متوسط فشار آب منفذی در نقطه P را برای هریک از دو قسمت بالادست و پایین دست بدنه و در همان مراحل زمانی فوق نشان می دهد. همان طور که مشاهده می شود، از مرحله A تا B با فرض عدم پخش فشار آب منفذی، این فشار به صورت خطی و متناسب با افزایش ارتفاع سد در مرحله ساخت افزایش می یابد (قسمت خط چین) و در صورت پخش فشار آب منفذی، روند تغییرات افزایشی ولی با شدت کمتر مطابق خط پر خواهد بود. از مرحله B تا C که مرحله وقفه پس از ساخت سد است، به علت ایجاد امکان برای پخش فشار منفذی، مقدار آن رو به کاهش گذاشته و در مرحله C تا D به علت آبگیری سد، این کمیت برای هر دو قسمت بعدن سد مجدداً افزایش می یابد. البته باید توجه داشت که در این مرحله و مرحله بعد، میزان افزایش فشار آب منفذی برای شیب بالادست بیشتر از شیب پایین دست است. در طی مرحله بهره برداری (مرحله D تا E) که مخزن پر است، فشار آب منفذی تا حدودی افزایش یافته و بتدریج به مقدار ثابتی می رسد و در مرحله E تا F (مرحله افت ناگهانی سطح آب)، این فشار در شیب بالادست بسرعت کاهش پیدا می کند، در حالی که در شیب پایین دست مقدار آن تغییر چندانی نمی یابد.

در قسمت (د) شکل ۱۲-۱، تغییرات ضریب اطمینان در مراحل مختلف رسم شده است. همان‌طور که مشاهده می‌شود، از مرحله A تا B به علت افزایش ارتفاع سد و فشار آب منفذی، ضریب اطمینان کاهش یافته و در انتهای مرحله ساخت به حداقل می‌رسد. در مرحله B تا C، یعنی مرحله پایان ساخت و تا قبل از شروع آبگیری، به علت توزیع فشار آب منفذی و کاهش مقدار آن، ضریب اطمینان بتدریج افزایش می‌یابد. از مرحله C تا D، که مرحله آبگیری است، با توجه به اعمال نیروی نشت<sup>۱</sup> مثبت بر روی شب بالادست، ضریب اطمینان افزایش یافته و به حداقل مقدار خود می‌رسد، در حالی که در همین مرحله در شب پایین دست به علت جهت منفی نیروی نشت (جهت مثبت و منفی نیروی نشت از دیدگاه افزایش یا کاهش پایداری مطرح می‌گردد)، ضریب اطمینان کاهش پیدا می‌کند. در مرحله D تا E، که مرحله بهره‌برداری از سد بوده و مخزن آن پر است، در هر دو شب بالادست و پایین دست به دلیل افزایش فشار آب منفذی، مقداری کاهش در ضریب اطمینان مشاهده می‌شود. در مرحله E تا F، یعنی در مرحله افت ناگهانی سطح آب مخزن، با حذف نیروی نشت مثبت از روی شب

بالادست، ضریب اطمینان آن بشدت کاهش می‌یابد، در صورتی که در شیب پایین دست به سبب ادامه نشست و عدم تغییر فشار آب منفذی، تغییر چندانی در ضریب اطمینان مشاهده نمی‌شود. از مرحله F تا G، که در آن مخزن سد خالی است، به علت کاهش تدریجی فشار آب منفذی، ضریب اطمینان در شیب بالادست باشدت بیشتر و در شیب پایین دست باشدت کمتری افزایش می‌یابد. بدین ترتیب همان‌طور که مشاهده می‌شود، در مراحل مختلف ساخت و بهره‌برداری از سد، ضریب اطمینان ارقام مختلفی به خود گرفته و منحنی تغییرات آن دارای نقاط ماکزیمم و مینیمم است. بنابر همین تغییرات است که در تحلیل پایداری شیب‌های بالادست و پایین دست سدهای خاکی، لازم است پایداری در مراحل بحرانی که در آن ضریب اطمینان به حداقل می‌رسد، کنترل شود.

### ۱۲-۳- مراحل بحرانی پایداری سدهای خاکی

الف) شیب بالادست

- مرحله انتهای ساخت (مرحله B)
- مرحله افت ناگهانی سطح آب (مرحله F)

ب) شیب پایین دست

- مرحله انتهای ساخت (مرحله B)
- مرحله نشت دائم (مرحله E)

## ۴-۱۲- روش‌های تحلیل پایداری شب

- 1- Limit Equilibrium Methods
- 2- Stress - Strain Method

- الف) روش‌های تعادل حدی <sup>۱</sup>
- ب) روش تنش - تغییر شکل <sup>۲</sup>

## ۵-۱۲- روشهای تعادل حدی

به طور کلی روشهای تعادل حدی، بر اساس مبانی زیر تحلیل می‌شوند [۷]:

- I- فرض یک سطح لغزش محتمل در شیب بالا دست یا پایین دست سد
- II- در دست بودن پارامترهای مقاومت برشی خاک متشکله بدنه سد و پی آن  
(ترجیحاً بر اساس تنش مؤثر)
- III- در دست بودن مقدار فشار منفذی و توزیع آن در بدنه سد در صورت استفاده از تنش مؤثر
- IV- پذیرش فرضیاتی در مورد چگونگی توزیع و مقدار تنش‌های داخلی در امتداد و بالای سطح لغزش
- V- کاربرد علم استاتیک برای تحلیل تعادل توده خاک در امتداد سطح لغزش فرض شده

تاکنون روش‌های متعددی بر اساس مبانی فوق به منظور ارزیابی پایداری شیب‌های خاکی ارائه شده که تقریباً همه آنها بر مبنای روش قطعات<sup>۱</sup> استوارند. روش‌های تعادل حدی پایداری شیب ارائه شده تاکنون به ترتیب قدمت شامل روش‌های فلینیوس<sup>۲</sup> (۱۹۳۹)، تیلور<sup>۳</sup> (۱۹۴۸)، بیشاپ<sup>۴</sup> (۱۹۵۵)، مورگان اشترن و پرایس<sup>۵</sup> (۱۹۶۵)، اسپنسر<sup>۶</sup> (۱۹۶۷)، یانبو<sup>۷</sup> (۱۹۷۳) و شارما<sup>۸</sup> (۱۹۸۹) بوده است [۷، ۱۶ و ۲۳].

تفاوت اصلی این روش‌ها در موارد زیر است:

- الف) فرضیات به عمل آمده در مورد شکل صفحه لغزش (مدور، لگاریتمی، غیر قوسی و ...)
- ب) کاربرد علم استاتیک در ارزیابی تعادل و پایداری (استفاده از مجموع نیروها، مجموع لنگرهای و ...)

## شش روش

اصلی که در حال حاضر بیشترین کاربرد را در تهیه نرم افزارهای محاسباتی کنترل پایداری شبیب دارا می باشند، به شرح زیرند [۲۳]:

- روش معمولی (روش فلئیوس، یا روش دایره سوئدی)
- روش ساده شده بیشاب
- روش اسپنسر
- روش ساده شده یانبو
- روش پیچیده یانبو
- روش مورگان اشترن - پرایس

معیار اصلی در تعیین مقاومت برشی توده خاک در سطح گسیختگی (سطح لغزش)، کاربرد صحیح و دقیق تنش‌های اعمال شده است. بدین علت، اغلب محققان اعتقاد دارند که مقاومت برشی واقعی توده خاک وابسته به تنش‌های مؤثر است، از این‌رو ارزیابی دقیق و قابل اعتماد مقاومت برشی در سطح لغزش صرفاً با داشتن توزیع فشار منفذی در سطح لغزش و محاسبه تنش‌های مؤثر و در نتیجه مقاومت بسیج شده ناشی از این نوع تنش در سطح مذکور امکان‌پذیر است. بدیهی است که قابلیت اعتماد روش تنش مؤثر به دقت در تعیین یا پیش‌بینی فشار منفذی در بدنه سد در شرایط واقعی بستگی دارد.

در روش "تش کل"، پارامترهای مقاومت برشی در مقابل تنش کل از طریق روش‌های آزمایشگاهی با فرض شبیه‌سازی شرایط صحرایی به دست می‌آیند. در این شرایط، انتظار می‌رود که اثر فشارهای منفذی در پارامترهای برشی انعکاس یابد. در این روش برای محاسبه پایداری و تعیین پارامترهای مقاومت برشی، از تنش‌های کل به دست آمده با استفاده از روش‌های آزمایشگاهی مناسب استفاده می‌شود. استفاده از روش تنش کل عدم اطمینان موجود در برآورد فشار منفذی را کاهش داده یا بکلی از بین می‌برد. مع ذلک باید توجه داشت که پارامترهای مقاومت برشی در روش تنش کل بشدت به روش آزمایش بستگی دارند.

برای شرایط نشت دائم، شبکه جریان ترسیم شده می‌تواند به خوبی و با قابلیت اعتماد مطلوب توزیع فشار منفذی در مقطع سد را نمایش دهد. از این‌رو در چنین شرایطی، استفاده از روش تنش مؤثر تقریباً مورد قبول اغلب مهندسان و محققان است.

در شرایط افت ناگهانی سطح آب، اگرچه در بیشتر موارد اندازه‌گیری صحراوی فشار منفذی برای انجام محاسبات کفايت می‌کند، لیکن تراکم پذیری خاک و شدت زهکش شدن آن به عنوان عوامل مهم و جدید بر ارقام حاصله مؤثرند. در حالی‌که اغلب طراحان سد برای این حالت نیز استفاده از روش تنش مؤثر را ترجیح می‌دهند، برخی دیگر استفاده از روش تنش کل را ارجح می‌شمارند.

برای شرایط انتهای مرحله ساخت، روش هیلف - بیشاب (فصل یازدهم)، مبانی نظری لازم برای برآورد فشار منفذی را به دست داده و دقت آن با اندازه‌گیری‌های صحراوی به اثبات رسیده است، باید توجه داشت که در این حالت، فشار منفذی بشدت به رطوبت خاکریزی و تراکم پذیری خاک حساس است و دقت محاسبات به میزان نزدیکی شرایط نمونه‌های مورد آزمایش در آزمایشگاه به شرایط و خصوصیات خاکریز در صحرا بستگی دارد. با توجه به عدم اطمینان مذکور، روش متداول آن است که پایداری به کمک روش تنش کل نیز کنترل شود. بدین منظور، نمونه‌های آزمایشگاهی مترکم شده با شرایط صحراوی، تحت شرایط زهکشی نشده مورد آزمایش قرار گرفته و پارامترهای تنش کل تعیین می‌گردند. به طور کلی سازمان عمران آمریکا (USBR) در چنین شرایطی استفاده از روش تنش مؤثر را ترجیح می‌دهد، در حالی که سازمان مهندسی ارتش آمریکا استفاده از روش تنش کل را ارجح می‌داند.

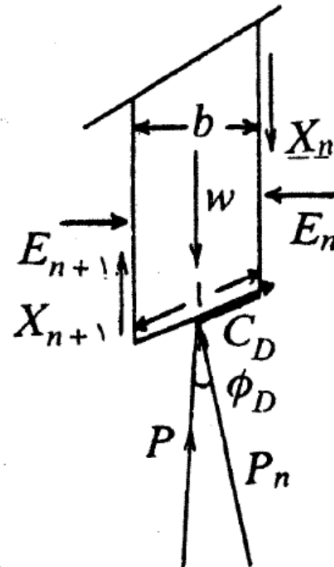
## ۲-۵-۱۲- شکل سطح لغزش

در خاک‌های ریزدانه، سطح لغزش تقریباً همواره به صورت دایره‌ای فرض می‌شود. این فرض با توجه به مشاهدات متعددی که در خصوص شکل سطح لغزش واقعی در خاک‌های همگن ریزدانه در کشور سوئد صورت گرفته، اتخاذ شده است. اگرچه در این زمینه استفاده از سطوح لغزش قوسی غیرمدور (مانند قوس لگاریتمی) نیز توسط برخی از طراحان مورد توجه و تجزیه و تحلیل قرار گرفته، اما در نهایت علی‌رغم پیچیده‌تر شدن محاسبات پایداری، مزایای چندانی از آن حاصل نشده است. در خاک‌های درشت‌تر متشكل از قلوه‌سنگ، لشه‌سنگ و قطعات سنگی خیلی بزرگ، سطح لغزش کم و بیش مسطح است. از این‌رو در مقاطعی از خاک‌ریز که متشكل از این‌گونه مصالح است، سطح لغزش پتانسیل با دو یا سه خط مستقیم مشخص می‌شود. در این حالت، روش کنترل پایداری، "روش قطعه‌ای<sup>۱</sup>" یا "روش لغزش بلوکی<sup>۲</sup>" نامیده می‌شود.

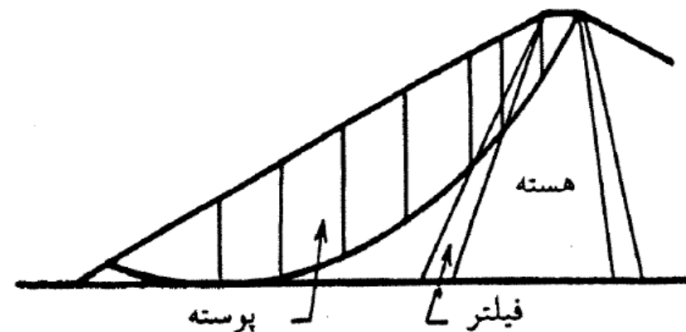
### ۱۲-۵-۳- تحلیل پایداری با روش دایره لغزش [۴]

همان‌طور که قبلاً اشاره شد، در این روش که اولین بار توسط فلنیوس در سال ۱۹۲۶ در کشور سوئد مطرح شد، سطح لغزش به صورت یک قوس دایره فرض شده و توده خاک در بالای سطح لغزش با رسم یک سری خطوط قائم موازی به قطعاتی تقسیم و سپس نیروهای محرک و مقاوم به لغزش برای هر قطعه محاسبه می‌شود و در نهایت تعادل نیروها یا لنگرها حول نقطه دوران (مرکز دایره لغزش) بررسی و بر اساس آن ضریب اطمینان محاسبه می‌شود. این روش که به روش دایره سوئدی یا روش فلنیوس مشهور است، بعدها توسط سایر طراحان مورد اصلاح قرار گرفته و به نام‌های دیگری (نام‌های مسروچ در بند ۱۲-۵) عرضه شده است.

در شکل ۲-۱۲ الف، یک سطح لغزش دایروی که به تعدادی قطعات قائم تقسیم شده، نمایش داده شده است. در محاسبات دستی تعداد این قطعات معمولاً متناسب با ابعاد مقطع عرضی سد بین ۶ تا ۱۲ و به طور متوسط ۸ یا ۹ است. عرض قطعات نیز در شرایط متعارف معمولاً مساوی انتخاب می‌شود، اما این موضوع الزامی نیست و در مواردی که دایره لغزش از مصالح با خصوصیات مختلف عبور می‌کند، تقسیم قطعات به گونه‌ای صورت می‌گیرد که هر قطعه حتی الامکان متشكل از یک نوع مصالح باشد و در این صورت عرض قطعات متغیر خواهد بود.



(ب)



(الف)

شکل ۲-۱۲ - مبانی کنترل پایداری به روش دایره لغزش

اجزای نمایش داده شده در شکل ۱۲-۲ به شرح زیرند:

$E_n, E_{n+1}$  = نیروی افقی در دو سطح قائم قطعه (سطوح  $n$  و  $n+1$ )

$X_n, X_{n+1}$  = نیروهای برشی (قائم) در سطوح  $n$  و  $n+1$

$W$  = کل وزن قطعه

$P_n$  = کل نیروی عمود بر سطح قاعده قطعه (شامل فشار منفذی  $u$ )

$S$  = نیروی برشی در سطح قاعده قطعه

$F$  = عکس العمل کل نیروهای قائم در سطح قاعده قطعه

$b$  = عرض قطعه

$h$  = ارتفاع قطعه

$l$  = طول وتر قوس در قاعده قطعه

$\phi$  = زاویه اصطکاک درونی مصالح

تنش عمودی مؤثر بر قاعده هر قطعه برابر است با :

$$\bar{\sigma} = \sigma - u = \frac{P_n}{l} - u \quad (2-12)$$

که در آن،  $\bar{\sigma}$  فشار منفذی در قاعده قطعه است. چنانچه ضریب اطمینان در شرایط تعادل برابر  $F$  فرض شود، تنش برشی مجاز برابر خواهد بود با :

$$\tau = \frac{1}{F} (c' + \bar{\sigma} \tan \phi') \quad (3-12)$$

چنانچه فاصله افقی مرکز ثقل قطعه نسبت به مرکز دوران (مرکز دایره لغزش) برابر  $x$  و شعاع دایره لغزش برابر  $R$  باشد، برای برقراری تعادل باید مجموع لنگر نیروهای محرک (ناشی از وزن) حول مرکز دوران با مجموع لنگر نیروهای مقاوم، ناشی از مقاومت برشی در قاعده قطعات، مساوی باشند. در این صورت :

$$\sum W \cdot x = \sum \tau \cdot l \cdot R \quad (4-12)$$

چنانچه مقدار  $\bar{\sigma}$  از رابطه ۱۲-۳ در رابطه ۱۲-۴ جایگزین شود:

$$\sum W.x = \frac{1}{F} \sum (c' + \bar{\sigma} \tan \phi').l.R \quad (5-12)$$

با جایگزینی مقدار  $\bar{\sigma}$  از رابطه ۱۲-۵، رابطه زیر حاصل خواهد شد:

$$F = \frac{R}{\sum W.x} \cdot \sum [c'.l + (p_n - u.l) \tan \phi'] \quad (6-12)$$

اکنون برای برآورده  $F$  لازم است مقدار نیروی عمود بر قاعده ( $p_n$ ) تعیین شود. در روش فلنیوس، کلیه نیروها در جهت عمودی یا شعاعی تجزیه می‌شوند که در این صورت چنانچه زاویه بین شعاع دوران قطعه و جهت قائم برابر  $\alpha$  فرض شود، رابطه زیر به دست می‌آید:

$$p_n = (W + X_n - X_{n+1}) \cos \alpha - (E_n - E_{n+1}) \sin \alpha \quad (7-12)$$

چنانچه مقدار  $p_n$  از رابطه اخیر در معادله ۱۲-۶ قرار داده شود:

$$F = \frac{R}{\sum W.x} \sum \{c'.l + \tan \phi' (W \cos \alpha - u.l) + \tan \phi' [(X_n - X_{n+1}) \cos \alpha - (E_n + E_{n+1}) \sin \alpha]\} \quad (8-12)$$

همان‌طورکه اشاره شد، در روش فلینیوس، مجموع نیروهای خارجی وارد بر قطعات معادل صفر در نظر گرفته می‌شوند، در این صورت:

$$\sum(X_n - X_{n+1}) = 0$$

$$\sum(E_n - E_{n+1}) = 0$$

بنابراین رابطه ۸-۱۲ با قرار دادن  $x = R \sin \alpha$  به صورت زیر درخواهد آمد:

$$F = \frac{1}{\sum W \sin \alpha} \sum [c' \cdot l + (W \cos \alpha - u \cdot l) \tan \phi'] \quad (8-12)$$

عبارت  $W \sin \alpha$  مؤلفه مماسی وزن قطعه است که می‌توان آن را با  $T$  نشان داد.

به طور مشابه، می‌توان مؤلفه عمودی وزن ( $W \cos \alpha$ ) را نیز با  $N$  نمایش داد. همچنین مقدار کل نیروی حاصل از فشار منفذی در قاعده قطعه برابر است با  $U = u \cdot l$ . با استفاده از این علائم، رابطه ۱۲-۹ به صورت زیر درمی‌آید:

$$F = \frac{\sum [c' \cdot l + (N \cdot U) \tan \phi']}{\sum T} \quad (10-12)$$

رابطه فوق ساده‌ترین راه حل کنترل پایداری شیب به روش قطعه‌ای است، اما باید توجه داشت که این رابطه بویژه در شرایطی که مقدار فشار منفذی  $U$  بزرگ و دایره لغزش نیز عمیق با زاویه مرکزی بزرگ باشد، با خطا زیادی همراه است.

۴-۵-۱۲- روش ساده شده بیشاب [۱]

در روش ساده شده بیشاب، برخلاف روش فلینیوس، که در آن نیروها در جهت عمود بر سطح لغزش تجزیه می شوند، برای تعیین  $p_n$  نیروها در جهت قائم تجزیه می گردند و تعادل نیروها در این جهت مورد بررسی قرار می گیرد، که در این صورت نیروهای افقی در دو طرف قطعه ( $E_n$  و  $E_{n+1}$ ) حذف می شوند. بدین ترتیب رابطه تعادل به صورت زیر درخواهد آمد:

$$W + X_n - X_{n+1} = p_n \cos \alpha + \frac{\frac{c'}{\sin \alpha}}{F} + \frac{(p_n - u \cdot l) \tan \phi' \cdot \sin \alpha}{F} \quad (11-12)$$

یا:

$$p_n \cos \alpha \left\{ 1 + \frac{\tan \phi' \cdot \tan \alpha}{F} \right\} = W + X_n - X_{n+1} - \frac{\frac{c'}{\sin \alpha}}{F} + \frac{u \cdot l \cdot \sin \alpha \cdot \tan \phi'}{F} \quad (12-12)$$

چنانچه مقدار  $p_n$  از معادله ۱۲-۱۲ در رابطه ۶-۱۲ قرار داده شده و معادله برای محاسبه ضریب اطمینان  $F$  مرتب شود:

$$F = \frac{1}{\sum W \cdot \sin \alpha} \sum [c' b + \tan \phi' (W - u \cdot b + X_n - X_{n+1})] \frac{\sec \alpha}{1 + \frac{\tan \phi' \cdot \tan \alpha}{F}} \quad (12-12)$$

در روش ساده شده بیش اپ، معمولاً جمله حاوی  $(X_n - X_{n+1})$  نادیده گرفته می شود. همچنین بعضی مواقع راحت تر آن است که فشار آب منفی  $u$  بر حسب وزن سربار طبق رابطه زیر بیان شود:

$$u = \bar{B} \gamma h = \bar{B} \frac{W}{b}$$

یا:

$$u b = \bar{B} \cdot W$$

با اعمال تغییرات فوق، رابطه ۱۲-۱۳ به صورت زیر درخواهد آمد:

$$F = \frac{1}{\sum W \cdot \sin \alpha} \sum [c' \cdot b + W(1 - \bar{B}) \tan \phi'] \frac{\sec \alpha}{1 + \frac{\tan \phi' \cdot \tan \alpha}{F}} \quad (14-12)$$

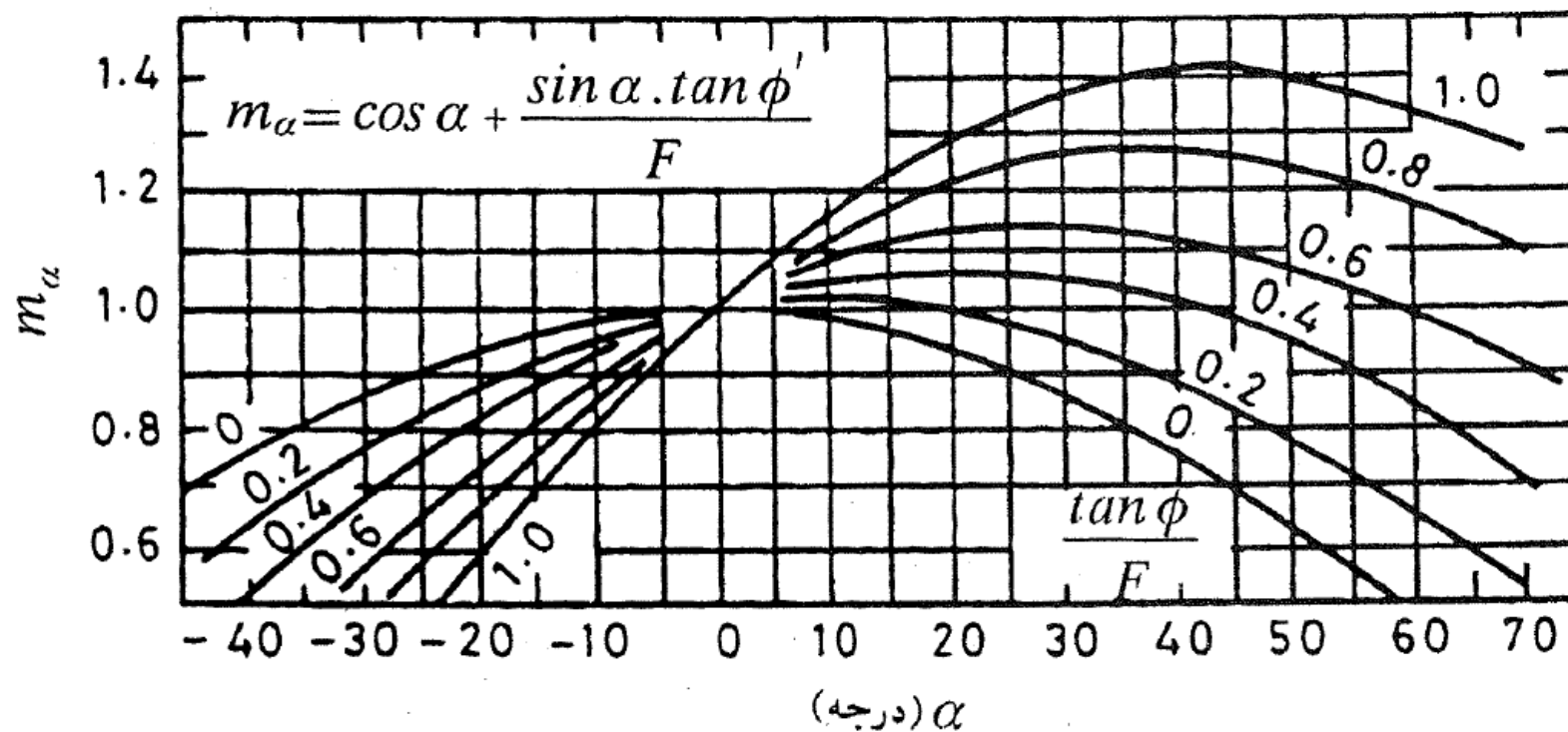
همان‌طورکه مشاهده می‌شود، پارامتر  $F$ ، یعنی ضریب اطمینان، در دو طرف معادله وجود دارد و برای حل آن لازم است ابتدا عدد مفروضی برای  $F$  در یک طرف معادله فرض و  $F$  را مجدداً محاسبه کرد و چنانچه بین مقدار فرض شده و مقدار محاسبه شده تفاوت زیادی موجود باشد، در مرحله بعد محاسبه با عدد جدید تکرار و روش کار آنقدر ادامه می‌یابد تا اختلاف بین این دو مقدار به صفر نزدیک شود. برای سهولت محاسبات می‌توان معادله ۱۴-۱۲ را به صورت زیر ساده کرد:

$$F = \frac{1}{\sum W \cdot \sin \alpha} \sum \left[ \frac{c' \cdot b + \tan \phi' (W - ub)}{m_\alpha} \right] \quad (15-12)$$

که در آن:

$$m_\alpha = \cos \alpha + \frac{\sin \alpha \cdot \tan \phi'}{F} \quad (16-12)$$

مقدار  $m_\alpha$  را می‌توان بر حسب زاویه  $\alpha$  و نسبت  $\frac{\tan \phi'}{F}$  از نمودار شکل ۱۶-۳ به دست آورد.

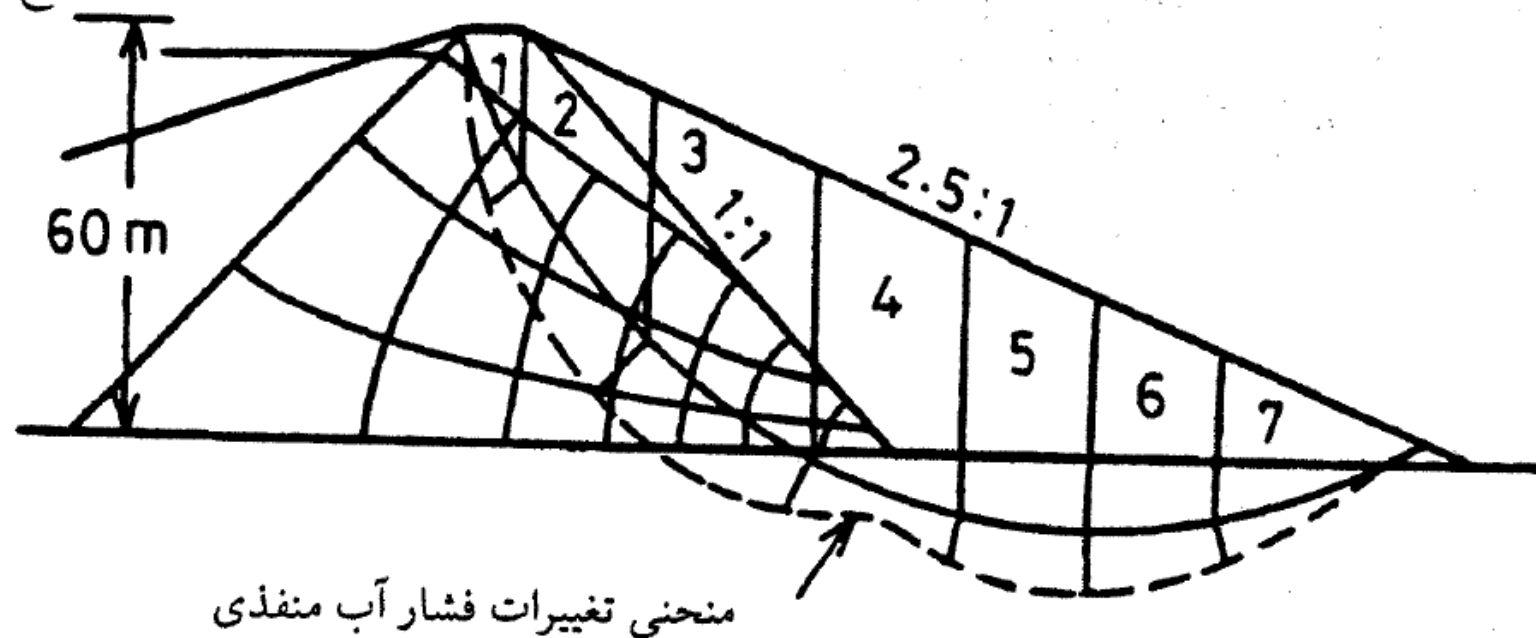


شکل ۱۶-۳- نمودار تعیین مقدار  $m_\alpha$  برای روشن بیش اپ ساده شده

مقطع عرضی یک سد خاکی به ارتفاع ۶۰ متر در شکل ۴-۱۲ نشان داده شده است.

شیب پایین دست این سد بر اساس روش لغزش دایروی به ۷ قطعه تقسیم شده و با رسم شبکه جریان در آن، سطح فشار آب منفذی در روی سطح لغزش به صورت خط‌چین ترسیم گردیده است. مطلوب است محاسبه ضریب اطمینان پایداری شیب با روش ساده‌شده بیشاب.

سطح آب مخزن



شکل ۴-۱۲-مثال عددی ۱-۱۲

حل

با فرض ضریب اطمینان  $F = 1/68$  و با استفاده از فرمول ۱۵-۱۲، محاسبات برای هریک از قطعات انجام و نتایج حاصله در جدول ۱۲-۲ خلاصه شده است. مشخصات اندازه‌گیری زاویه  $\alpha$  نیز در جدول درج و براساس ارقام حاصله پارامتر  $m_\alpha$  از رابطه ۱۶-۱۲ برای هریک از قطعات تعیین و سرانجام ضریب اطمینان برای کل توده در حال لغزش با استفاده از رابطه زیر محاسبه شده است:

$$F = \frac{1}{\sum W \cdot \sin \alpha} \sum \left\{ \frac{c' b + \tan \phi' (W - u \cdot b)}{m_\alpha} \right\}$$

بر اساس جدول مذکور، (تن)  $\sum W \cdot \sin \alpha = ۲۰۰۱$ ، بنابراین ضریب اطمینان کلی برابر  $F = \frac{4280}{2001} = 1/68$  است.

جدول ۱۲-۲- محاسبات مربوط به مثال عددی پایداری شب با روش ساده شده بیش از  
(مثال عددی ۱-۱۲)

شماره قطعه	وزن مصالح، تن			وزن کل $W$ (تن) (درجه)	$\alpha$	$\sin \alpha$	$\cos \alpha$	$W \cdot \sin \alpha$	$b$ (متر) $= u l \cos \alpha$	$u \cdot b$ (ن)	$W - ub$ (ن)	$(W - ub) \times$ $\tan \phi'$ (ن)	$c' \cdot b$ (ن)	$m_a$ $F = 1/\rho A$	$\frac{c' b + \tan \phi' (W - ub)}{m_a}$
	مس		پوست و پن												
	(الباع)	(الباع)	(مرطوب)												
۱	۱۸۴	۷۰	-	۲۰۴	۶۱/۰	۰/۸۸	۰/۴۸	۲۲۳	۹	۲۶	۲۲۸	۸۳	۲۶	۰/۶۷۱	۱۷۷
۲	۴۰۰	۵۴۰	۲۲۹	۱۱۶۹	۴۸/۹	۰/۷۵	۰/۶۶	۸۸۱	۲۰	۱۶۰	۱۰۰۹	۲۶۷	۸۰	۰/۸۲۲	۵۲۳
۳	۵۶	۸۶۰	۱۰۲۸	۱۹۴۴	۳۳/۰	۰/۰۰	۰/۸۲	۱۰۷۳	۲۶	۳۱۹	۱۶۲۰	۰۹۲	۱۰۴	۰/۹۴۹	۷۳۳
۴	۱۲۴	۱۰۸۲	۲۰۴	۱۹۱۰	۱۷/۷	۰/۳۰	۰/۹۰	۵۸۱	۲۳	۱۰۲	۱۷۰۸	۱۰۱۴	-	۱/۰۰۷	۹۶۳
۵	-	۱۱۲۰	۴۰۷	۱۰۲۲	۳/۶	۰/۰۶۲	۰/۹۹	۹۶	۲۰	۱۹۸	۱۳۳۴	۷۷۰	-	۱/۰۱۱	۷۶۲
۶	-	۷۹۰	۴۰۷	۱۱۹۷	-۲/۲	۰/۰۴۰	۰/۹۹	-۴۸	۲۰	۱۹۸	۹۹۹	۰۷۶	-	۰/۹۷۶	۵۹۰
۷	-	۶۲۲	۲۰۴	۸۲۶	-۱۷/۱	۰/۳۱	۰/۹۰	-۲۰۰	۲۱	۸۱	۷۰۰	۴۳۶	-	۰/۸۴۴	۵۱۷
$\sum W \cdot \sin \alpha = ۲۰۰۱$													$\sum = ۴۲۸۵$		

## ۱۲-۵-۵- روش لغزش بلوکی [۴]

همان طور که قبلًاً اشاره شد، در این روش سطح لغزش به صورت چند قطعه خط مستقیم (خط شکسته) فرض شده و تعادل نیروهای وارد بر هر یک از بلوک های واقع بر روی سطح لغزش مورد بررسی قرار می گیرد. به منظور سهولت انجام محاسبات، معمولاً تعداد بلوک های بالای سطح لغزش دو یا سه فرض می شود. روش دوبلوکی یا دو قطعه ای برای شرایطی مناسب است که در آن تحلیل پایداری شبیب بالادست یک سد سنگریز با هسته شبیدار به سمت بالادست مورد نظر باشد [۱۸]. در این روش با توجه به شکل ۱۲-۵، فرضیات زیر به عمل می آید:

- سطح لغزش بحرانی ( $bC$ ) از پنجه سد می گذرد.
- در سطوح  $(a - b)$  و  $(b - c)$  اصطکاک و چسبندگی به طور مجزا بسیج شده اند.

بنابراین در سطح  $b-c$  روابط زیر برقرار است:

$$\tan \theta_1 = \frac{\tan \phi'_1}{F} \quad (17-12)$$

$$S_1 = \frac{c'_1 \cdot l_1}{F} \quad (18-12)$$

$$\tan \theta_2 = \frac{\tan \phi'_2}{F} \quad (19-12)$$

$$S_2 = \frac{c'_2 \cdot l_2}{F} \quad (20-12)$$

- مقاومت بسیج شده بین دو قطعه ممکن است به میزان مقاومت برشی بسیج شده در قاعده همان قطعه (بلوک) نرسد. بنابراین زاویه اصطکاک  $\delta$  بین صفر و  $\phi$  قرار خواهد گرفت.

$$\delta = \tan^{-1} \left[ \frac{\tan \phi'}{F} \right] \quad (21-12)$$

در حالی که چسبندگی بین قطعات نیز بین صفر و  $\frac{c}{F}$  قرار خواهد داشت. بنابراین در یک روش منطقی، می‌توان میزان بسیج این دو پارامتر را بین دو حد نهایی فرض کرد و در تمام مراحل تحلیل، مقادیر نیروهای ناشی از چسبندگی و اصطکاک را برابر مقدار میانه بین دو حد نهایی در نظر گرفت. چنانچه مقدار  $\delta$  معادل صفر فرض شود، ضریب اطمینان محاسبه شده به میزان ۲۵ درصد بالاتر و در جهت اطمینان بیشتر خواهد بود.

پارامترهای مورد استفاده در ترسیم چندضلعی نیروها در این روش به شرح زیرند:

$W_1$  و  $W_2$  = وزن قطعات ۱ و ۲

$S_1$  و  $S_2$  = مقاومت برشی در زیر قطعات ۱ و ۲

$p_1$  و  $p_2$  = نیروی عکس العمل در زیر قطعات ۱ و ۲

$\theta_1$  و  $\theta_2$  = زاویه نیروهای عکس العمل  $p_1$  و  $p_2$  نسبت به خط عمود بر سطح

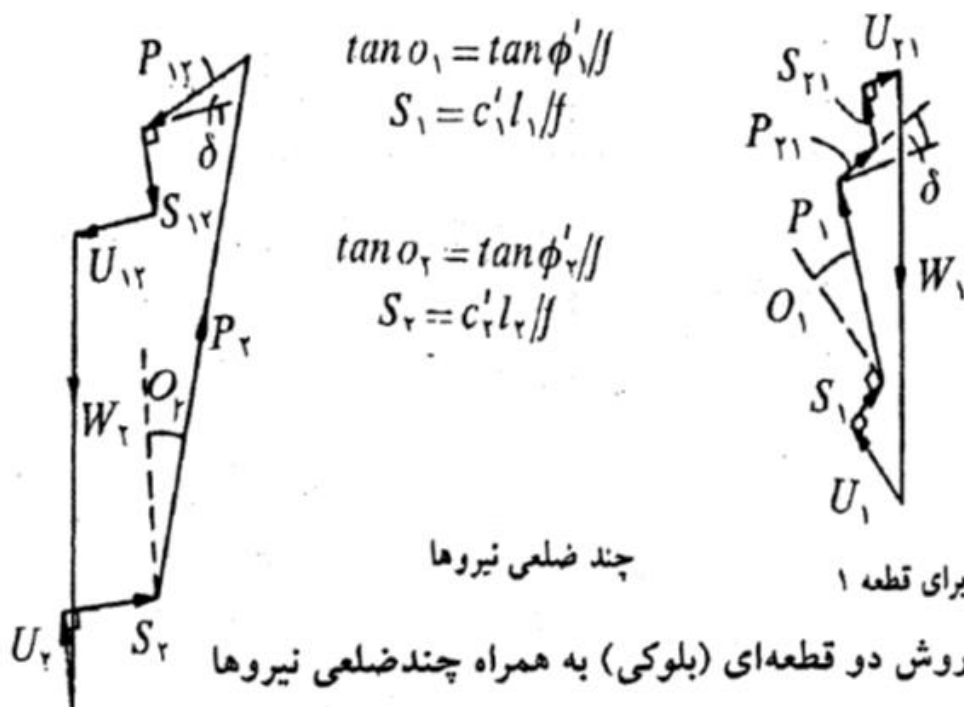
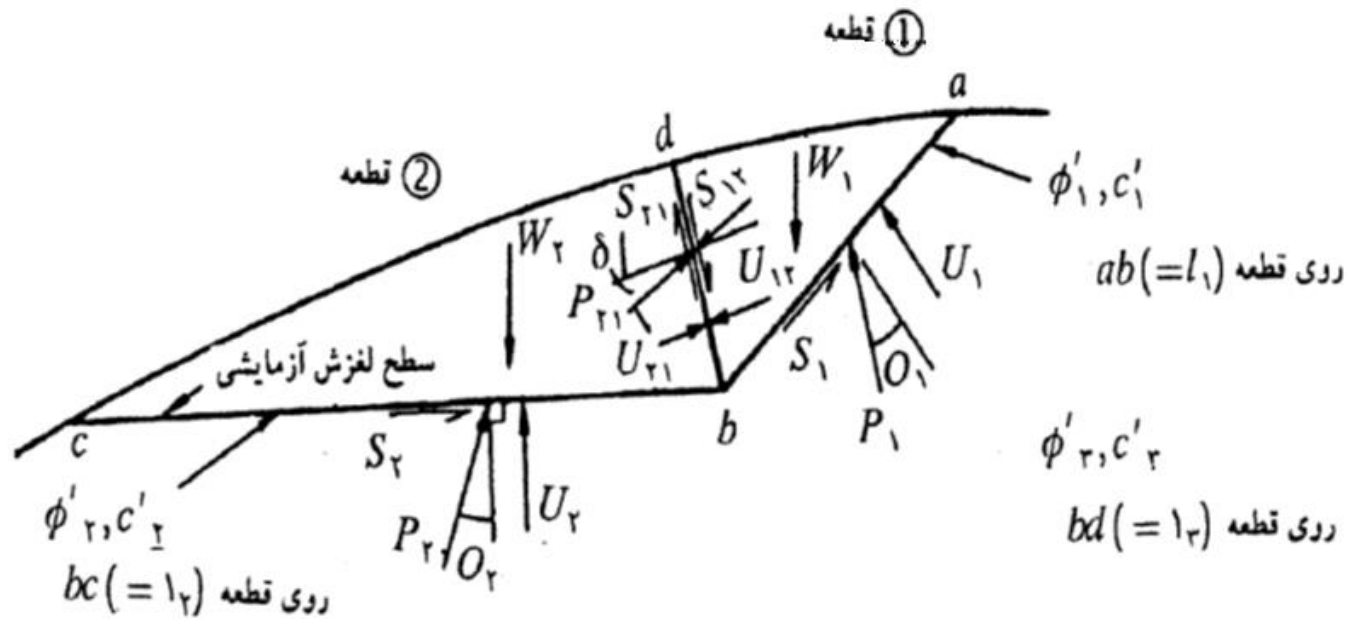
$U_1$  و  $U_2$  = فشار آب منفذی در زیر قطعات ۱ و ۲

$\delta$  = زاویه نیروهای  $p_{12}$  و  $p_{21}$  نسبت به خط عمود بر سطح  $b d$

$l_3$  = طول سطح  $bd$

$\phi'_3$  = زاویه اصطکاک بین مصالح دو قطعه

$c'_3$  = چسبندگی بین مصالح دو قطعه



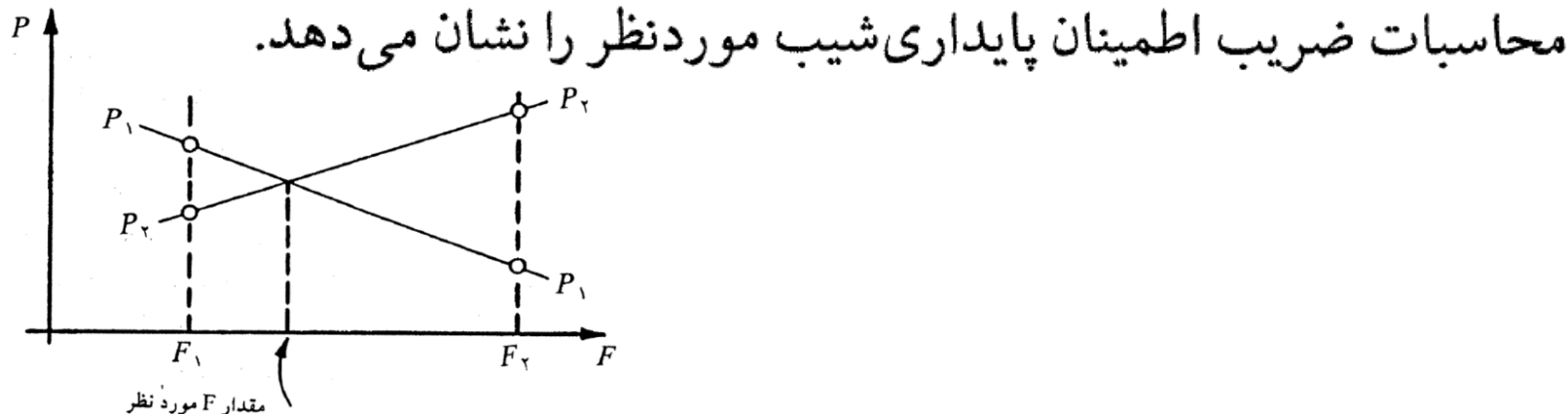
شکل ۱۲-۵- روشن دو قطعه‌ای (بلوکی) به همراه چند ضلعی نیروها

مراحل محاسبه ضریب اطمینان با این روش به شرح زیر است:

- ۱- برای ضرایب اطمینان  $F_1$  و  $F_2$ ، دو مقدار فرضی را که احتمالاً در محدوده موردنظر قرار می‌گیرند، در نظر بگیرید.
- ۲- برای هریک از قطعات مقادیر زاویه اصطکاک بسیج شده  $\theta_1$  و  $\theta_2$  و نیز نیروهای برشی  $S_1$  و  $S_2$  را (با توجه به معادلات ۱۷-۱۲ تا ۲۰-۱۲) و با استفاده از اولین ضریب اطمینان یعنی  $F_1$  محاسبه کنید.
- ۳- چند ضلعی نیروهای مربوط به هریک از قطعات را مطابق شکل ۱۲-۵ ترسیم کنید. مقادیر نیروهای  $p_1$ ،  $p_2$ ،  $p_{12}$  و  $p_{21}$  نامعین، اما جهت آنها معین است، بنابراین با توجه به جهت این نیروها، می‌توان چند ضلعی را کامل کرد.
- ۴- با استفاده از چند ضلعی تکمیل شده نیروها، می‌توان مقادیر نیروهای  $p_{21}$  و  $p_{12}$  را تعیین کرد.

۵- حل صحیح مسئله وقتی حاصل می شود که  $p_{12} = p_{21}$  باشد. چنانچه این دو مقدار با یکدیگر مساوی نباشند، باید با استفاده از یک ضریب اطمینان دیگر ( $F_2$ ) مجدداً مقادیر  $p_{12}$  و  $p_{21}$  را محاسبه کرد. در این صورت می توان مطابق شکل ۱۲-۶، تغییرات  $P$  بر حسب ضریب اطمینان را در دو حالت محاسبه ترسیم کرد. با اتصال تصاویر  $P$  مرتبط با هریک از دو ضریب اطمینان  $F_1$  و  $F_2$  به یکدیگر و با درون یا بی خطا، می توان مقدار  $F$  مورد نظر را با تصویر محل برخورد دو خط مستقیم حاصل بر روی محور  $F$  به دست آورد.

۶- در مراحل بعد می توان موقعیت خطوط  $b - a$  و  $c - b$  را تغییر داد و در هر مورد مقادیر ضریب اطمینان مربوطه را تعیین کرد. کمترین مقدار به دست آمده در این



شکل ۱۲-۶- روش ترسیمی تعیین مقدار ضریب اطمینان ( $F$ )

## ۱۲-۶- نمودارهای پایداری سطوح لغزش دایروی

۱۲-۶-۱- نمودارهای تیلور<sup>۱</sup> [۱۹]

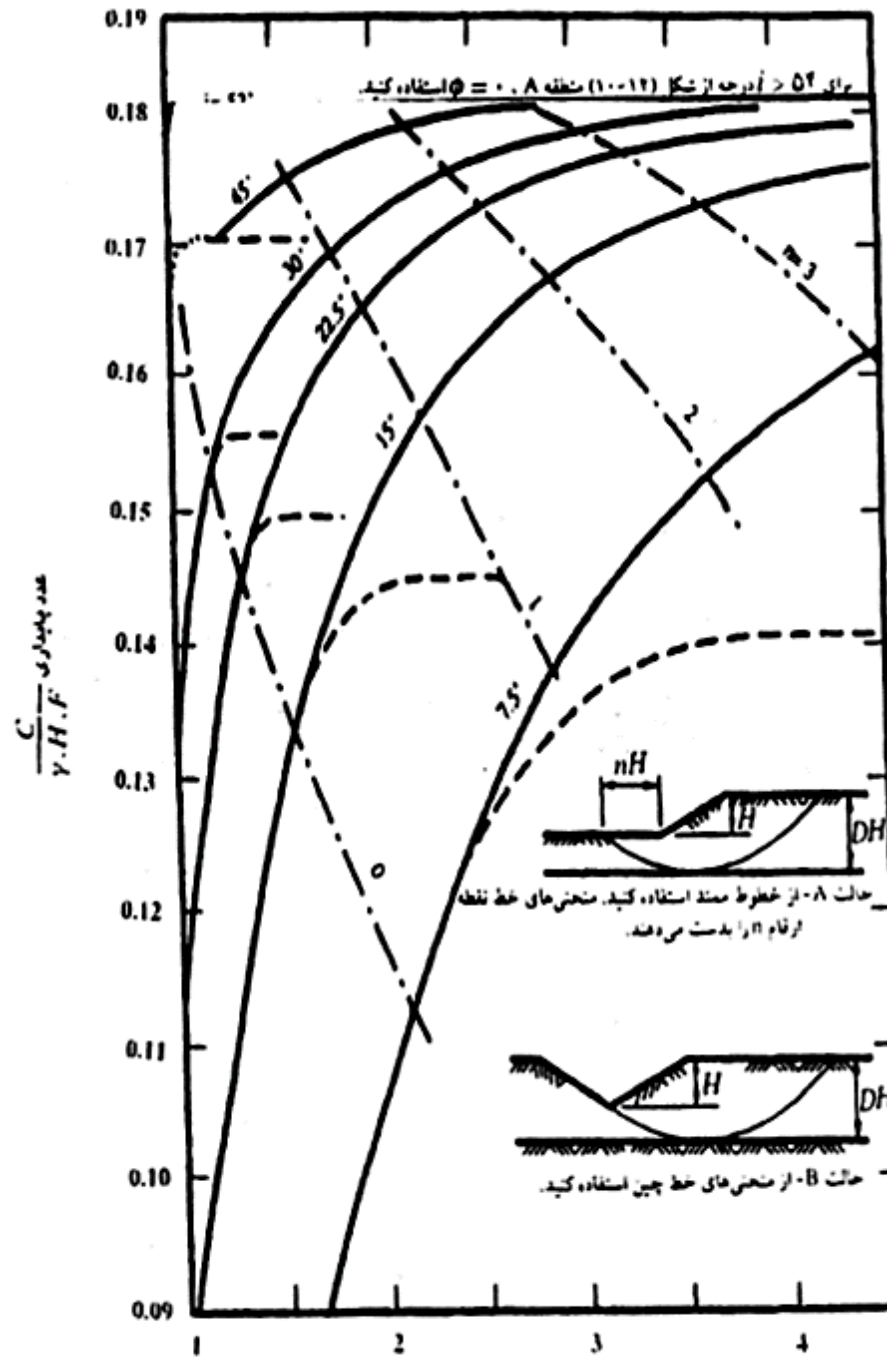
این نمودارها را که در شکل‌های ۱۰-۱۲ و ۹-۱۲ نشان داده شده‌اند، می‌توان در شرایط زهکشی کامل یا زهکشی نشده به کار برد. اما معمولاً کاربرد این نمودارها برای شرایط زهکشی نشده و بر اساس کاربرد روش تنش کل که در آن  $\phi = \phi'$  است، توصیه می‌شود، زیرا در این حالت ضریب اطمینان مستقیماً از روی نمودار قابل قرائت است. در مورد مصالحی که پارامترهای مقاومتی مؤثر آنها، یعنی  $c'$  و  $\phi'$  در دست است، باید از روش آزمون و خطا و تکرار استفاده کرد. بدین ترتیب که با فرض یک مقدار معین برای ضریب اطمینان، ابتدا زاویه اصطکاک مورد انتظار از رابطه زیر تعیین می‌شود.

$$\tan \phi_d = \frac{\tan \phi'}{F} \quad (۲۲-۱۲)$$

سپس با استفاده از رقم حاصله و به کمک نمودار، مقدار چسبندگی ایجاد شده در محاسبه می شود که در آن:

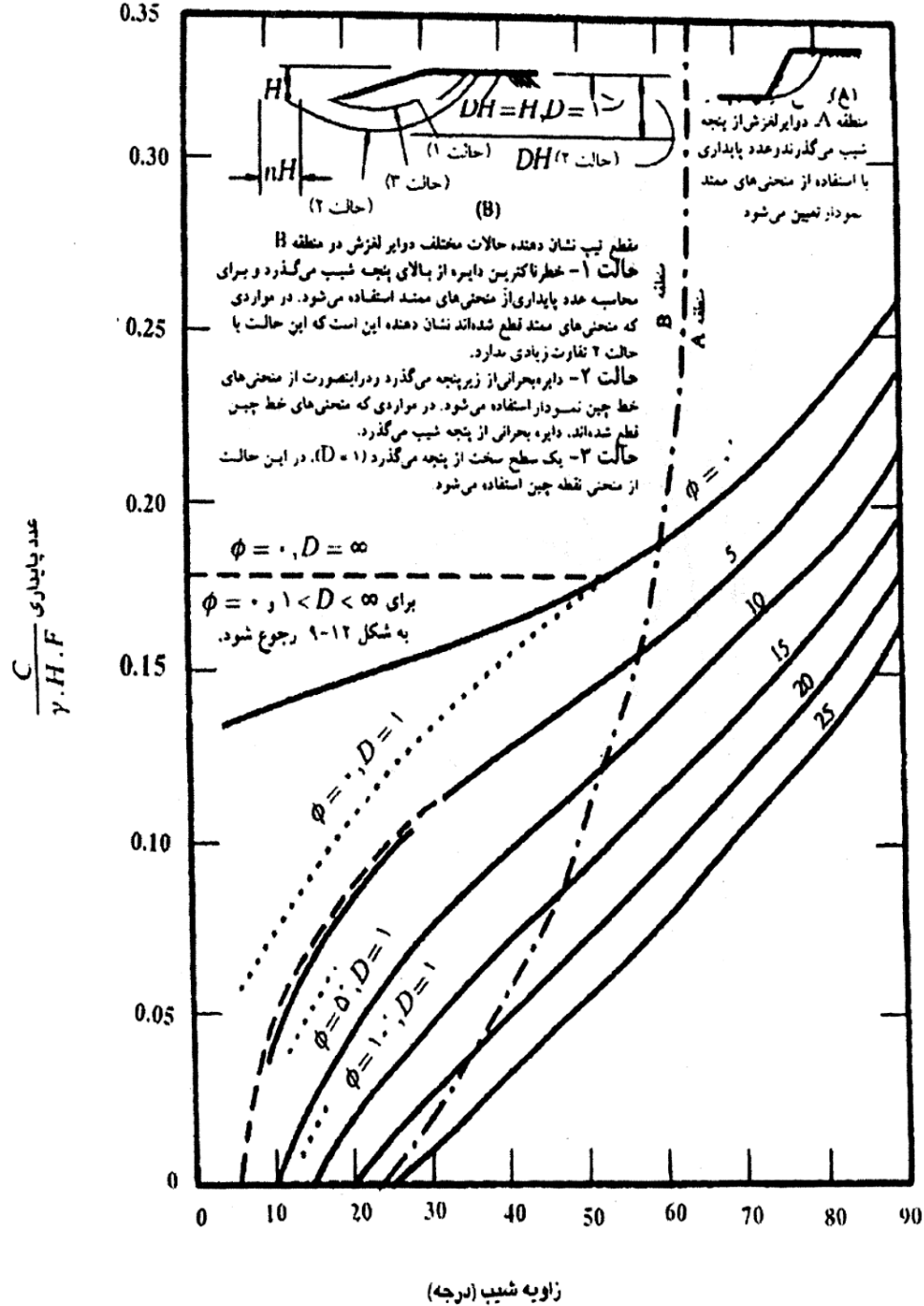
$$c_d = \frac{c'}{F} \quad (23-12)$$

ازین رو از آنجا مقدار جدیدی برای  $F$  بر اساس نسبت  $\frac{c'}{F}$  به دست می آید. چنانچه مقدار ضریب اطمینان با مقدار فرض شده اولیه یکسان نباشد، روند کار آنقدر تکرار می شود تا دو مقدار به یکدیگر برسند.



[۱۹] ۱< $D$ < $\infty$  و  $\phi = 0$  برای حالت تیلور پایداری نمودار

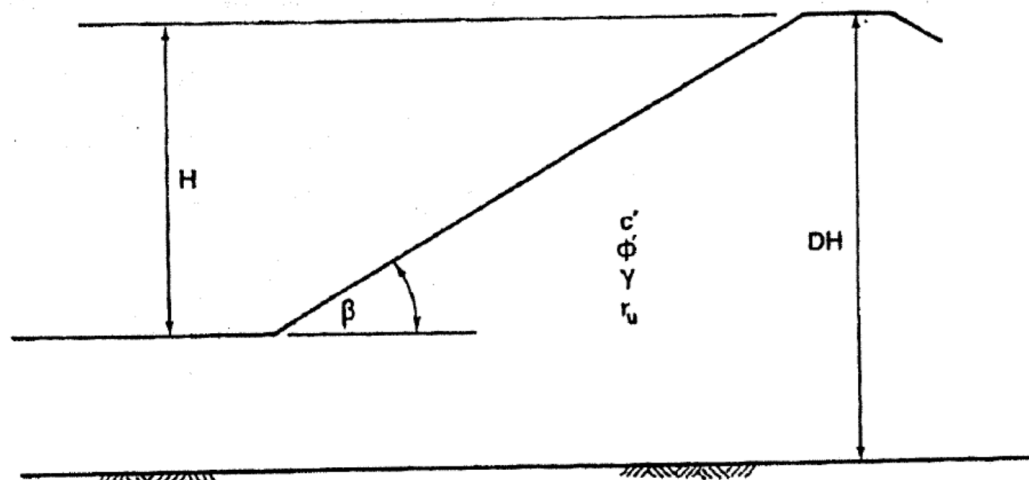
فریب عوچ (D)



شکل ۱۰-۱۲ - نمودار پایداری تیلور [۱۹]

## ۱۲-۶-۲- نمودارهای بیشاب و مورگان اشترن [۲]

این نمودارها در تحلیل پایداری شیب‌ها بر اساس تنش مؤثر ( $\phi'$  و  $c'$ ) به کاربرده می‌شوند و توسط بیشاب و مورگان اشترن با استفاده از برنامه رایانه‌ای تحلیل شیب به روش سطح لغزش دایروی تهیه شده‌اند. نمودارهای مذکور بر اساس مقادیر مختلف کمیت بدون بعد  $\frac{c'}{\gamma \cdot h}$  و ضریب عمق ترسیم شده‌اند. شکل ۱۱-۱۲ مفهوم ضریب عمق در این نمودارها را نشان می‌دهد. همان‌طورکه مشاهده می‌شود،  $H$  ارتفاع سد و  $D$  نسبت عمق لایه سخت در زیر سد تا سطح تاج به ارتفاع سد ( $H$ ) است. ضریب اطمینان  $F$  بر حسب دو ضریب پایداری  $m$  و  $n$  و نیز نسبت فشار آب منفذی ( $r_u$ ) بیان می‌شود.



شکل ۱۱-۱۲- مشخصات پارامترهای به کار رفته در نمودارهای بیشاب و مورگان اشترن

(۲۴-۱۲)

$$F = m - n \cdot r_u$$

که در آن:

(۲۵-۱۲)

$$r_u = \frac{u}{\gamma \cdot h}$$

در روابط فوق،  $u$  فشار آب منفذی،  $\gamma$  وزن واحد حجم مصالح و  $h$  عمق نقطه نسبت به سطح زمین است. نمودارهای مورد بحث بر حسب مقادیر  $\frac{c'}{\gamma \cdot H}$  و  $D$  در شکل های ۱۲-۱۲ و ۱۴-۱۲ ارائه شده اند. مقادیر  $m$  و  $n$  مورد نیاز در محاسبه ضریب اطمینان به ازای هر مقدار زاویه شیب سطح شیبدار مستقیماً از روی نمودارها استخراج می شود. چنانچه مقادیر  $\frac{c}{\gamma \cdot H}$  مستقیماً در نمودارها نباشند، می توان از روش درون یابی استفاده کرد. در استفاده از آین نمودارها راحت تر آن است که ضریب عمق بحرانی را با استفاده از خطوط هم نسبت فشار منفذی  $r_{ue}^1$ ، که در شکل با خط چین نشان داده شده اند، تعیین کرد. مقدار  $r_{ue}$  با رابطه زیر بیان می شود:

$$r_{ue} = \frac{m_2 - m_1}{n_2 - n_1}$$

(۲۶-۱۲)

که در آن  $m_2$  و  $n_2$  مقادیر مربوط به ضریب عمق بیشتر، یعنی  $D_2$ ،  $m_1$  و  $n_1$  مقادیر مربوط به ضریب عمق کمتر، یعنی  $D_1$  می‌باشند.

در حالتی که مقدار نسبت فشار منفذی طراحی برای یک مقطع عرضی و پارامترهای مقاومتی معین، بزرگتر از  $r_{ue}$  باشد، در این صورت، ضریب اطمینان به دست آمده با ضریب عمق بیشتر،  $D_2$ ، کمتر از ضریب اطمینان حاصل به ازای ضریب عمق کمتر،  $D_1$ ، خواهد بود. این امر برای تشخیص اینکه آیا لایه سخت وجود دارد یا اینکه آیا دایره بحرانی تری موجود است که در تماس با لایه سخت نیست، بسیار مفید است.

برای تعیین حداقل ضریب اطمینان برای مقاطعی که به‌طور مستقیم روی لایه سخت قرار ندارند، ابتدا نمودار مربوط به  $D = 1$  را به ازای نسبت  $\frac{c}{\gamma \cdot H}$  مفروض به کار ببرید. مقادیر  $\beta$  و  $\phi'$  نقطه‌ای را در روی منحنی‌های  $n$  در مقابل  $\beta$  نشان می‌دهند که متناظر با مقدار معینی  $r_{ue}$  (با استفاده از منحنی‌های خط‌چین) می‌باشند. چنانچه این مقدار کمتر از مقدار  $r_u$  طراحی باشد، ضریب عمق بعدی، یعنی  $D = 1/25$  را به کار ببرید که در این صورت، مقدار بحرانی تری برای ضریب اطمینان به دست خواهد آمد. چنانچه از نمودار مربوط به  $D = 1/25$ ،  $r_{ue}$  حاصله هنوز کمتر از مقدار  $r_u$  طراحی باشد، از نمودار بعدی مربوط به  $D = 1/5$  با همان مقدار  $\frac{c}{\gamma \cdot H}$  استفاده کنید.

یک سطح شیبدار با زاویهٔ شیب  $1:4$  موجود است. چنانچه عمق این شیب ۴۲ متر باشد و یک لایهٔ سخت در عمق ۱۸ متری زیر پاشنهٔ شیب قرار داشته باشد، حداقل ضریب اطمینان پایداری شیب را با توجه به مشخصات خاک به شرح زیر تعیین کنید:

$$\phi' = 30^\circ$$

$$c' = 0.4 \text{ kg/cm}^2$$

$$\gamma = 1/76 \text{ g/cm}^3$$

$$r_u = 0.5$$

حل

با استفاده از اطلاعات داده شده، ابتدا نسبت  $\frac{c'}{\gamma \cdot H}$  محاسبه می‌شود:

$$\frac{c'}{\gamma \cdot H} = \frac{0.4 \times 1000}{1/76 \times 4200} = 0.5$$

با استفاده از شکل ۱۲-۱۲ به ازای  $\phi' = 30^\circ$  و  $D = 0/05$ ،  $\frac{c'}{\gamma \cdot H} = 1/25$  و  $\beta = 1:4$  مشاهده می شود که  $r_{ue} < 0/5$  است. بنابراین  $D = 1/25$  ضریب عمق بحرانی تر است، در این صورت با استفاده از نمودار مربوط به این ضریب عمق، مشاهده می شود که این بار  $r_{ue} > 0/5$  است. در این حالت، مقدار  $D$  برابر  $D = 1/25 = \frac{42 + 18}{42}$  می باشد و با توجه به محدوده ارائه شده نمودارها، ضریب عمق بحرانی است.

با استفاده از نمودار مربوطه:

$$n = 2/8 \text{ و } m = 3/2$$

با کاربرد رابطه ۱۲-۲۴ و به ازای  $\phi = 0/5$ ، حداقل ضریب اطمینان برابر است با:

$$F = m - n \cdot r_u = 3/2 - 2/8 \times 0/5 = 1/8$$

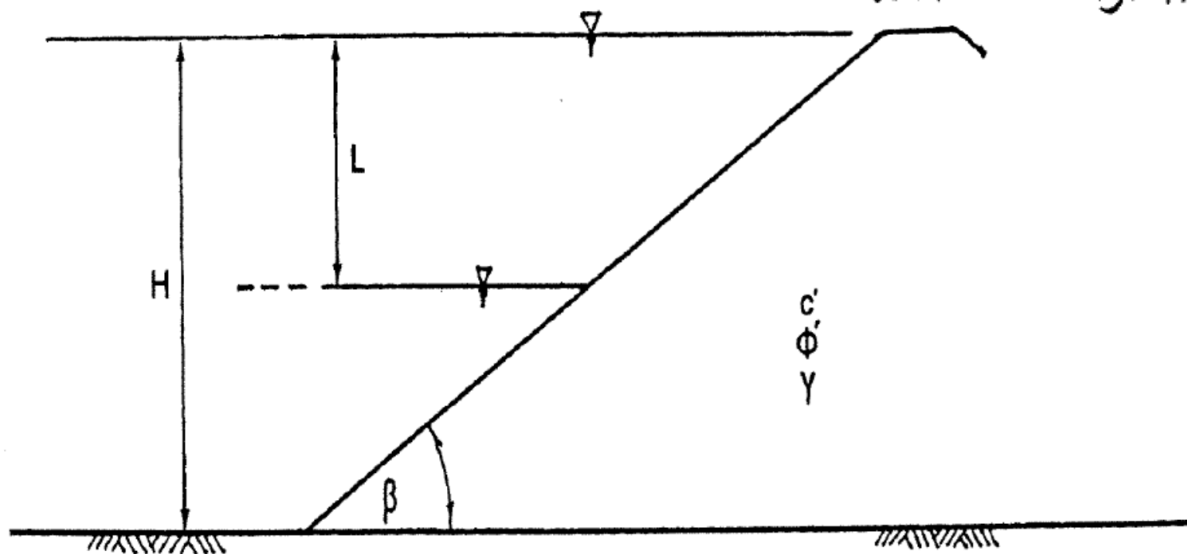
### [۱۰] - ۳-۶-۱۲ - نمودارهای افت سطح آب

مورگان اشترن یک سری نمودار محاسباتی دیگر برای بررسی پایداری و تعیین ضریب اطمینان شیب‌هایی که در معرض افت ناگهانی سطح آب قرار دارند، تهیه کرده است. با پایین رفتن سطح آب در مخزن، با فرض عدم پخش فشار منفذی در حین این فرایند، ضریب اطمینان کاهش می‌یابد. مورگان اشترن سطح شیبدار را از نوع شیب ساده متشکل از مصالح همگن، مستقر روی یک لایه صلب غیرقابل نفوذ در پاشنه شیب فرض کرد. خاک تشکیل دهنده شیب دارای پارامترهای تنفس مؤثر، یعنی  $'c$  و  $\phi$  بود که مقدار هر دو در عمق ثابت است. شیب، قبل از افت سطح آب، به طور کامل غرقاب بوده و حالت استغراق کامل برقرار است.

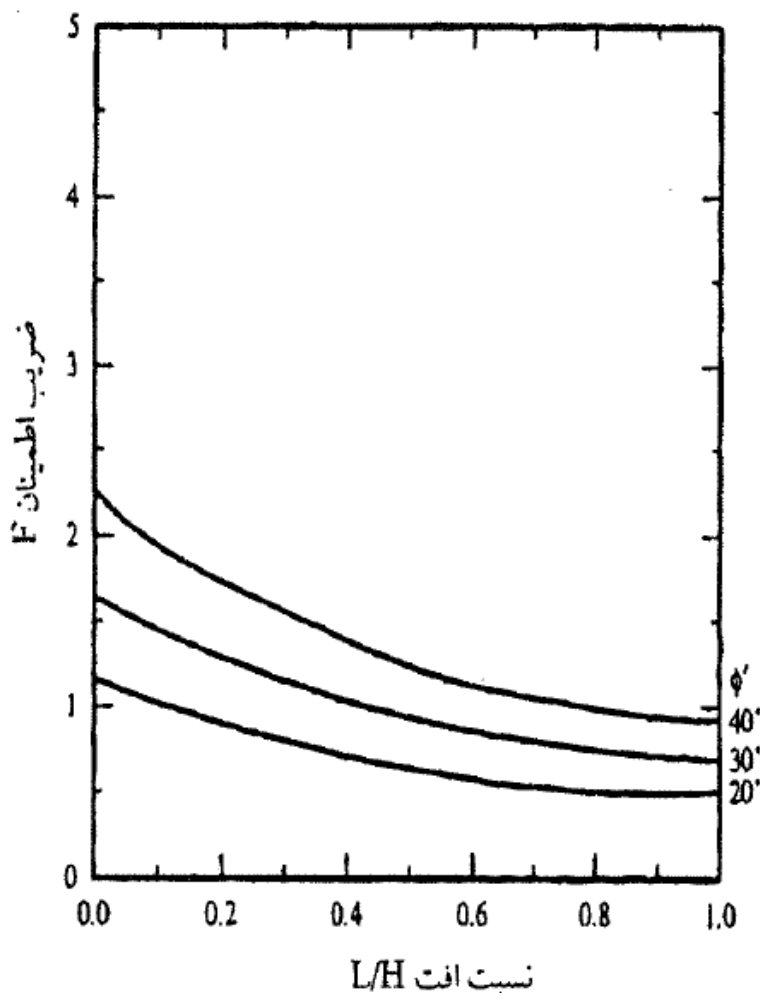
پارامتر فشار منفذی اسکمپتون، یعنی  $\frac{\Delta u}{\Delta \sigma_1} = \bar{B}$ ، در حین افت سطح آب برابر یک فرض شده و نیز فرض می‌شود که وزن واحد حجم خاک در این فرایند ثابت و معادل دو برابر وزن واحد حجم آب باشد. به علاوه فرض می‌شود که فشار منفذی برای هر نقطه را می‌توان از حاصل ضرب ارتفاع خاک در بالای نقطه در وزن واحد حجم آب به دست آورد.

نسبت افت برابر  $\frac{L}{H}$  می‌باشد که در آن  $L$  مقدار افت سطح آب و  $H$  ارتفاع کل شیب است. کلیه دوایر لغزش پتانسیل باید مماس بر قاعدهٔ مقطع باشند. این امر بدان معنی است که مقدار  $H$  در ضریب پایدار  $\frac{c'}{r \cdot H}$  و در نسبت افت  $\frac{L}{H}$  باید متناسب با سطوح میانی مماس بر دایرهٔ لغزش تعریف شوند.

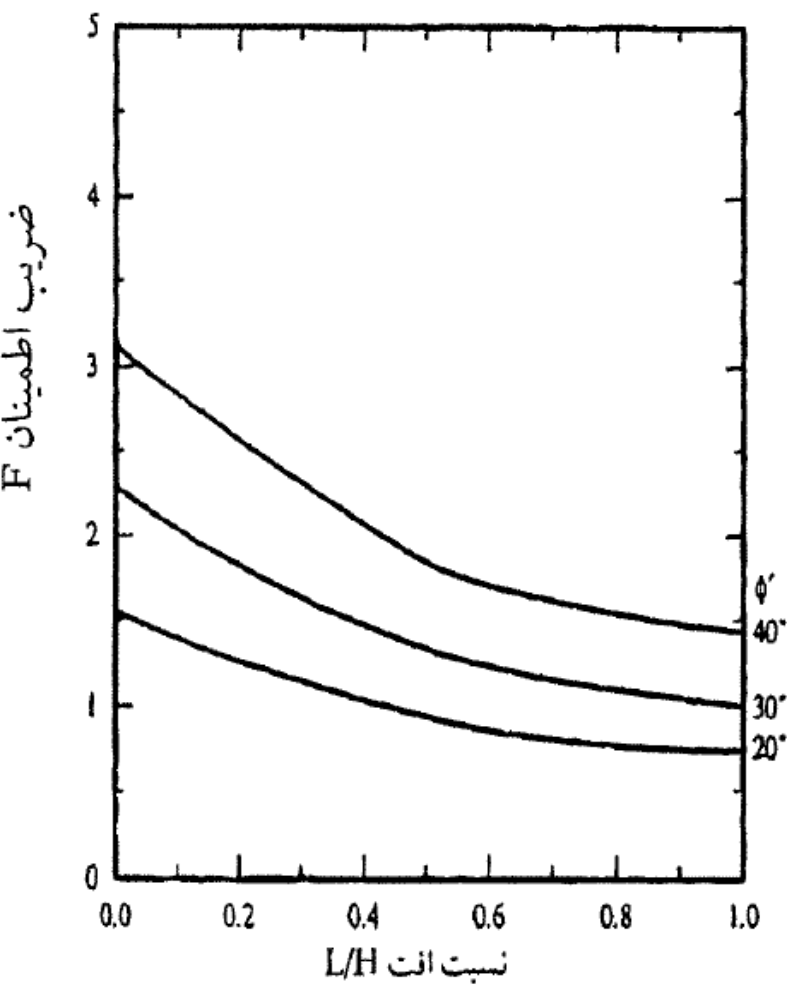
نمودارهای مورگان اشترن برای مقادیر ضریب پایداری از ۱/۰۵۰ تا ۱/۲۵ و برای شیب‌های ۱:۵ الى ۱:۲ و حداقل زاویهٔ اصطکاک  $40^\circ = \phi'$  تهیه شده‌اند. شکل ۱۲-۱۵، پارامترهای به کار برده شده در این نمودارها را نشان می‌دهد. این نمودارها در شکل ۱۲-۱۶ الى ۱۸-۱۲ ارائه شده‌اند.



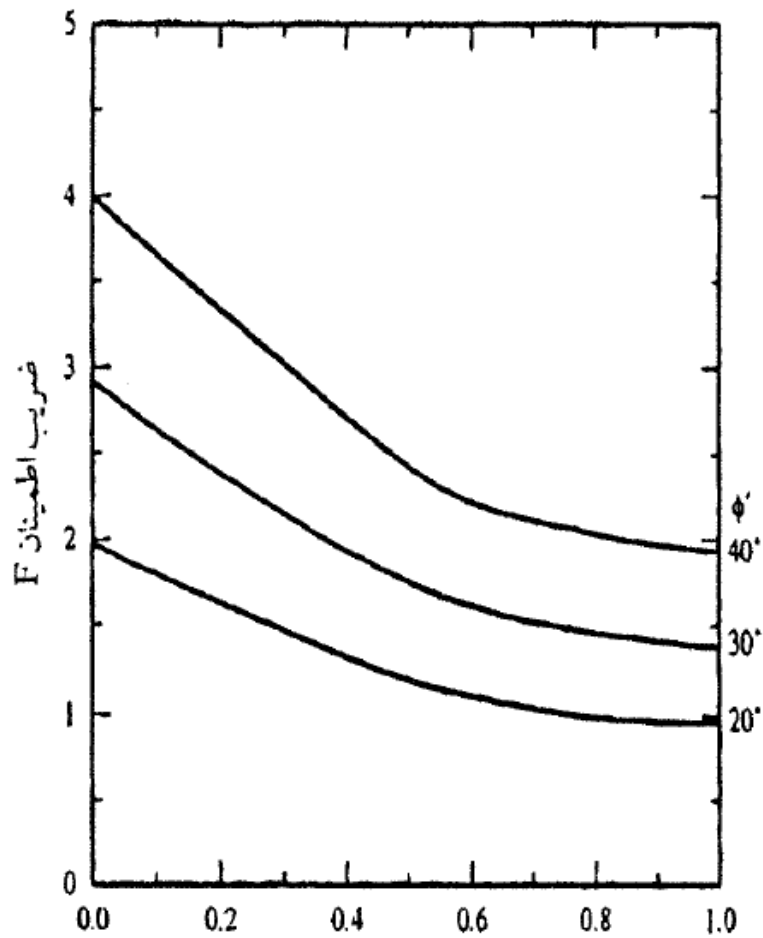
شکل ۱۲-۱۵-۱۲ - پارامترهای به کار رفته در نمودارهای مورگان اشترن



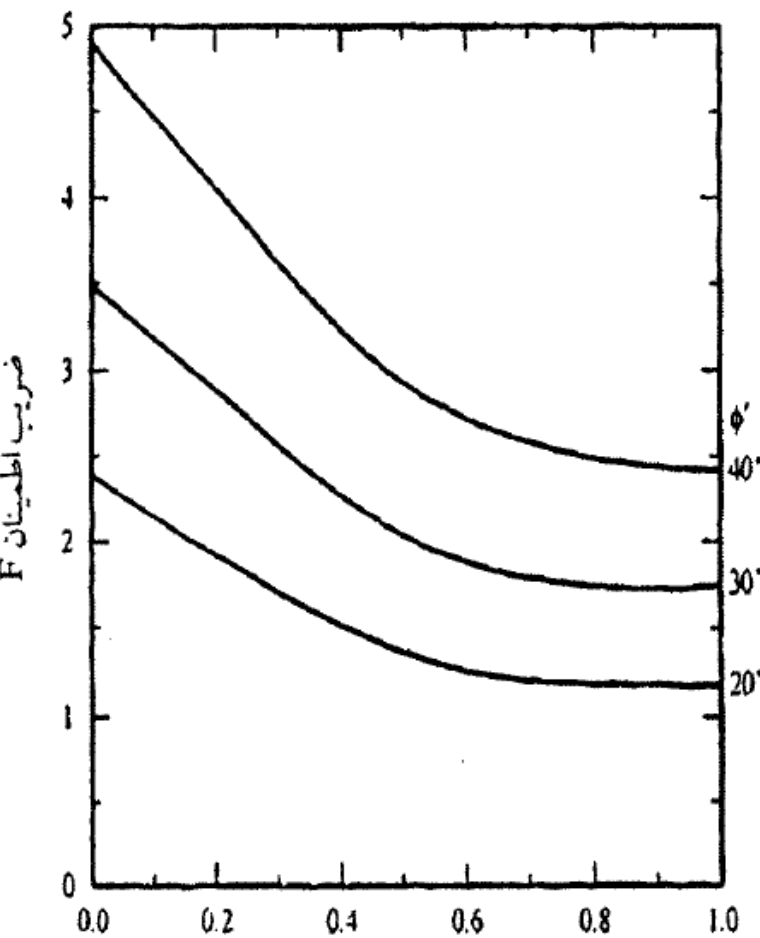
(a)  $\beta = 2:1$



(b)  $\beta = 3:1$



نسبت افت  
(c)  $\beta = 4:1$

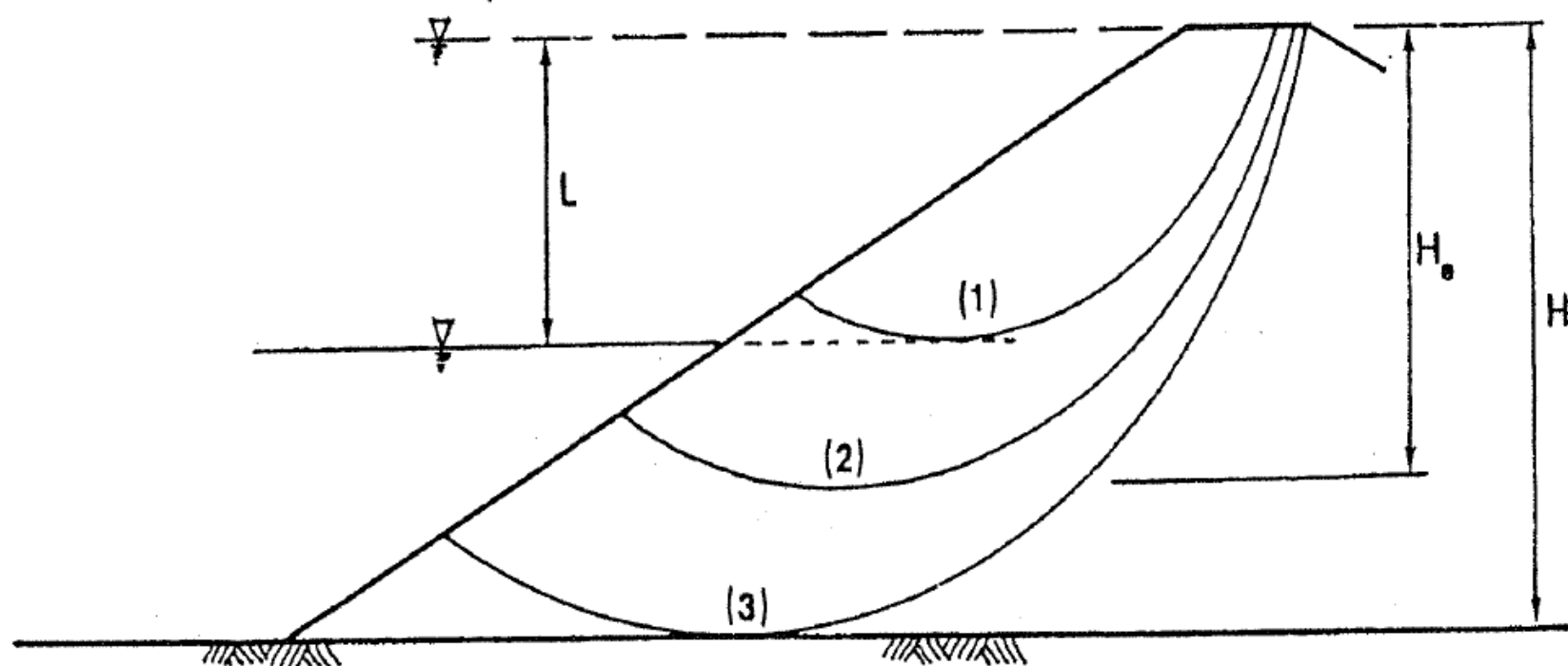


نسبت افت  
(d)  $\beta = 5:1$

شکل ۱۲-۱۶ - نمودار افت سطح آب

$$\frac{c'}{\gamma H} = 0.0125 \quad \text{ضریب پایداری}$$

برای حالت افت کامل سطح آب، ضریب اطمینان به طور مستقیم از نمودار به دست می‌آید. اما برای حالت‌های افت ناقص سطح آب، سطوح بحرانی ممکن است مماس بر سطح قاعده سد نبوده و در ارتفاع بالاتری قرار گیرند. در این صورت، ضرایب اطمینان پایداری این سطوح باید با فرض یک ارتفاع معادل  $H_e$  که مطابق شکل ۱۹-۱۲ تعریف می‌شود، تعیین گردد.



شکل ۱۹-۱۲- افت ناقص سطح آب

برای مثال، برای یک نسبت افت معادل  $\frac{L}{H} = \frac{1}{2}$ ، مطابق شکل ۱۲-۱۹، برای دایره لغزش (۱)،  $He = \frac{H}{2}$ ، برای دایره لغزش (۲)،  $He = \frac{3H}{4}$  و برای دایره لغزش (۳)،  $He = H$  است.

با تعیین مقادیر  $\frac{L}{He}$  و  $\frac{c'}{\gamma \cdot He}$ ، کمترین مقدار ضریب اطمینان محاسبه می‌شود. برای آن دسته از مقادیر  $\frac{c'}{\gamma \cdot He}$  که به طور مستقیم روی نمودارها یافت نمی‌شوند، می‌توان از روش درونیابی استفاده کرد.

یک سد خاکی به ارتفاع ۳۰ متر مفروض است. این سد از مصالح یکنواخت با چسبندگی مؤثر  $c' = 15 \text{ kg/cm}^2$  و زاویه اصطکاک مؤثر  $\phi' = 30^\circ$  تشکیل شده است. وزن واحد حجم خاک دو برابر وزن واحد حجم آب و برابر ۲ گرم بر سانتی متر مکعب است. زاویه شیب بدنه سد  $\beta = 1:3$  است. حداقل ضریب اطمینان پایداری در شرایط افت کامل سطح و افت تا نیم ارتفاع سد را به کمک نمودارهای مورگان اشترن تعیین کنید.

حل

ابتدا ضریب پایداری محاسبه می شود:

$$\frac{c'}{\gamma \cdot H} = \frac{15 \times 1000}{2 \times 3000} = 0.25$$

با استفاده از رقم مذکور و به ازای  $\beta = 30^\circ$  و  $\phi' = 1:3$  سطح آب  $1 = \frac{L}{H}$  ضریب اطمینان برابر  $F = 1/2$  به دست می‌آید. با بررسی نمودارها مشاهده می‌شود که دایره لغزش بحرانی مماس بر قاعده سد است. چنانچه هر سطح تماس دیگری فرض شود،  $H$  باید کاهش یابد. در این صورت، با کاهش  $H$ ، ضریب پایداری افزایش یافته و بدین ترتیب در کلیه حالات ضریب اطمینان بیشتری به دست خواهد آمد.

در حالت دوم، یعنی افت سطح آب تا نیم ارتفاع سد، سطح لغزش مماس بر قاعده فرض شده و ارتفاع مؤثر  $He$  معادل با ارتفاع واقعی سد است که در این صورت، ضریب پایداری برابر  $0.25/0$  ثابت باقی می‌ماند. با این رقم، ضریب پایداری و نسبت  $0.5 = \frac{L}{He}$ ، به شرط ثابت بودن سایر شرایط، ضریب اطمینان از روی نمودار مربوطه برابر  $F = 1/52$  به دست خواهد آمد.

چنانچه دایره لغزش به سطح عبوری بر نیم ارتفاع سد مماس باشد، ارتفاع مؤثر برابر نصف ارتفاع واقعی سد است، بنابراین  $He = \frac{H}{2} = 15m$ . در این صورت،  $0.5 = \frac{L}{He} = \frac{c'}{\gamma \cdot He}$  و  $0.1 = \frac{c'}{\gamma \cdot He}$ . با این شرایط حداقل ضریب اطمینان از روی نمودار مربوطه برابر  $F = 1/48$  به دست خواهد آمد.

۱۲-۶-۵- نمودارهای پایداری اسپنسر<sup>۱</sup> [۱۷]

این نمودارها بر اساس کار قبلی فلینیوس و بیشتاب تهیه شده است. در این روش نیز سطح لغزش به صورت دایروی فرض می شود که با رسم خطوط قائم به نوارهایی تقسیم و تحلیل بر اساس تنש مؤثر و تعادل نیروها و لنگرها انجام شده و نیروهای کناری قطعات موازی فرض شده اند.

بر اساس روش اسپنسر زاویه اصطکاک بسیج شده،  $\phi'_m$  برابر  $\frac{\phi'}{F}$  است و فرض می شود که ضریب عمق،  $D$ ، کاملاً بزرگ است. همچنین توزیع فشار منفذی یکنواخت فرض شده و مفهوم نسبت فشار منفذی،  $r_u$ ، پیشنهادی بیشتاب و مورگان اشترن به کار گرفته شده است. بر اساس این روش که نمودارهای آن در شکل ۱۲-۲۲ نشان داده شده، ضریب پایداری به شرح زیر تعریف می شود:

$$N_s = \frac{c'}{F \cdot \gamma \cdot H} \quad (12-30)$$

که در آن :

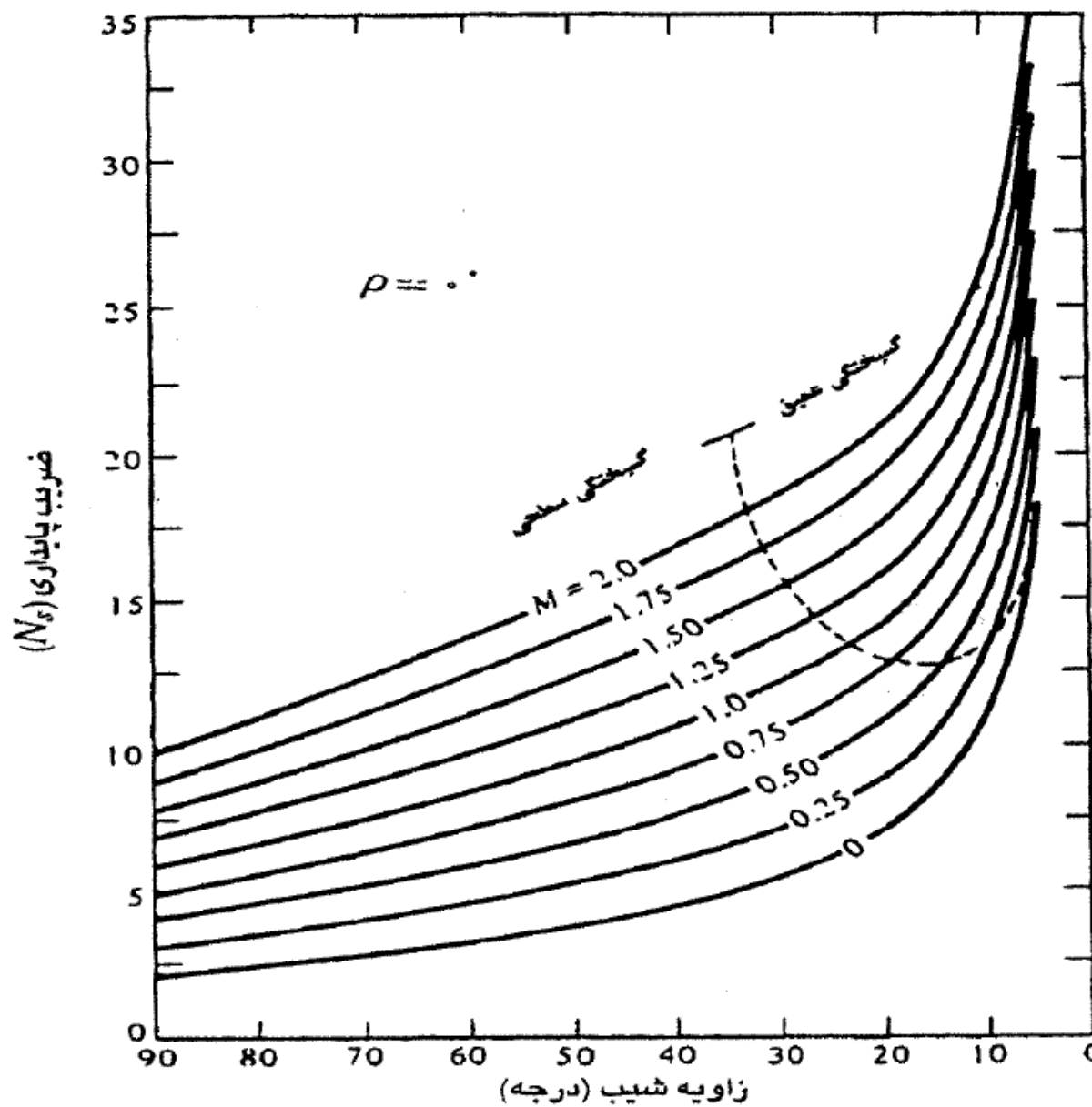
$C'$  = چسبندگی مؤثر

$F$  = ضریب اطمینان

$\gamma$  = وزن واحد حجم خاک

$H$  = متوسط ارتفاع هر قطعه

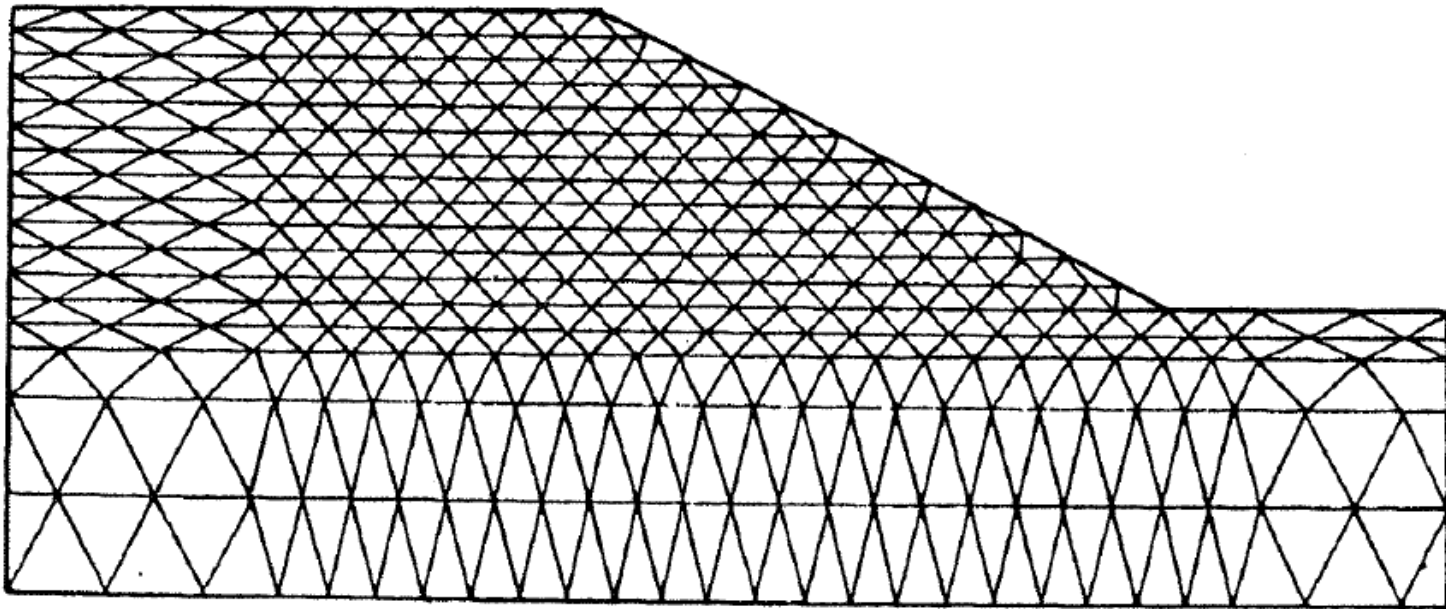
همان طور که شکل ۲۲-۱۲ نشان می دهد، تغییرات ضریب پایداری بر حسب زاویه اصطکاک بسیج شده بین ۱۰ تا ۴۰ درجه و زاویه شیب  $\beta$  تا ۳۴ درجه، بین صفر تا ۱۲/۰ است. در نمودارهای اسپنسر برای نسبت فشار منفذی،  $r_u$ ، سه رقم صفر، ۰/۲۵ و ۰/۵ در نظر گرفته شده و در صورت نیاز برای ارقام دیگر به سهولت می توان از روش درون یابی خطی استفاده کرد.



شکل ۱۲-۲۰- رابطه شیب، ضریب پایداری ( $N_d$ ) و نسبت سطح آب ( $M$ ) [۶]

## ۱۲-۷- روش اجزای محدود

ضعف اصلی روش‌های تعادل حدی، ملحوظ نشدن مشخصات تنفس - کرنش مصالح بدنی و پی سد در تحلیل پایداری است. با استفاده از روش اجزای محدود که در آن کلیه مشخصات تنفس - کرنش مصالح ملحوظ می‌گردد، این ضعف برطرف می‌شود. اما در این روش نیز تنها تنفس و تغییر شکل در نقاط مختلف سازه تعیین شده و سطح لغزش پتانسیل تعریف نمی‌شود و با مشبندی مقطع عرضی بدن و پی سد و فرض مرزهای صلب در فواصل قابل ملاحظه از شبیب، به گونه‌ای که مرزها اثری بر تنفس‌های داخل محدوده نگذارند، مقادیر تنفس - کرنش در نقاط گره محاسبه می‌شود.

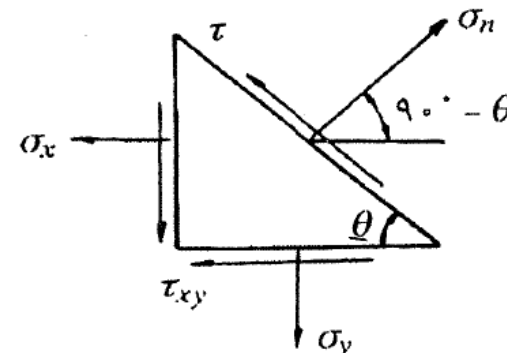
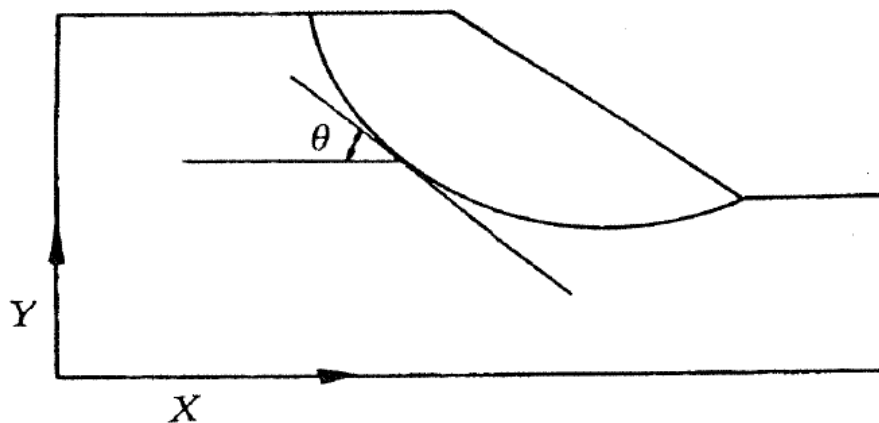


شکل ۱۲-۲۳- مشبندی مقطع سد در روش اجزای محدود

چنانچه یک سطح لغزش فرضی در دامنه شیب در نظر گرفته شود، مقدار تنش‌ها در نقطه‌ای مانند A روی سطح لغزش که تحت شیب  $\theta$  قرار دارد، یعنی  $\sigma_x$ ،  $\sigma_y$  و  $\tau_{xy}$  به کمک روش اجزای محدود قابل محاسبه است. در این صورت، مطابق شکل ۲۴-۱۲، مقداری روش اجزای نرمال و برشی روی سطح گسیختگی را می‌توان با استفاده از روابط زیر تعیین کرد:

$$\sigma_n = \frac{1}{2} (\sigma_x + \sigma_y) - \frac{1}{2} (\sigma_x - \sigma_y) \cos 2\theta + \tau_{xy} \cdot \sin 2\theta \quad (31-12)$$

$$\tau = -\tau_{xy} \cdot \cos 2\theta - \frac{1}{2} (\sigma_x - \sigma_y) \sin 2\theta \quad (32-12)$$



شکل ۲۴-۱۲- مؤلفه‌های تنش در هر نقطه روی سطح لغزش

از آنجاکه کلیه تنش‌ها در امتداد سطح لغزش با کمک روش اجزای محدود قابل تعیین می‌باشند، از این‌رو تنش‌های نرمال برشی در هر نقطه در امتداد سطح گسیختگی را نیز می‌توان به کمک معادلات ۳۱-۱۲ و ۳۲-۱۲ به دست آورد. پس از محاسبه تنش‌های نرمال، مقاومت برشی،  $S$ ، در تمام نقاط را می‌توان بر اساس معادله مهر - کولمب به شرح زیر تعیین کرد:

$$S = c + \sigma_n \cdot \tan \phi \quad (33-12)$$

با جمع کردن مقادیر تنش‌های نرمال و مقاومت برشی در کلیه نقاط، مقدار مقاومت برشی و نیروی برشی کل محاسبه شده و ضریب اطمینان پایداری از رابطه زیر به دست خواهد آمد:

$$F = \frac{\sum (c + \sigma_n \tan \phi) \Delta l}{\sum \tau \cdot \Delta l} \quad (33-12)$$

که در آن  $\Delta l$  طول هر جزء است. امروزه با وجود برنامه‌های رایانه‌ای بسیار قوی و با سرعت بالا، انجام این محاسبات علی‌رغم حجم بسیار زیاد آن به سهولت و در زمان کوتاه امکان‌پذیر است. در این برنامه‌ها، سطح گسیختگی به تعدادی قطعه با طول‌های مساوی تقسیم می‌شود که هر قطعه دارای دو نقطه انتهایی است. تنש‌های افقی، قائم و برشی در وسط هر قطعه با روش درون‌یابی تنش‌های اجزای مجاور تعیین می‌شود. پس از آن، تنش‌های نرمال و برشی هر قطعه با استفاده از تنش‌های وسط هر قطعه و زاویه  $\theta$  آن قطعه محاسبه می‌شود.